

Bragg spectroscopy and pair-breaking-continuum mode in a superfluid Fermi gas

Yvan Castin

Abstract: The superfluid, pair condensed spin-1/2 Fermi gases are supposed to exhibit at nonzero wave vector a still unobserved collective excitation mode in their pair-breaking continuum. Using BCS theory at zero temperature and in the long wavelength limit, we predict that this mode is quantitatively observable (in frequency, width and spectral weight) in the response of a cold atom gas to a laser Bragg excitation, if one measures the perturbation induced on the order parameter modulus rather than on the density.

PACS No.: 67.85.-d

1. Introduction

We now know how to prepare in the laboratory a gas of fermionic cold atoms of spin 1/2 trapped in a flat-bottom box potential [1], thus spatially homogeneous [2–4]. These atoms are subjected to an attractive interaction in the s wave between opposite spin states \uparrow and \downarrow of van der Waals type, of negligible range b and of scattering length a tunable with a magnetic Feshbach resonance [5–10]. One can arrange for the gas to be unpolarized, that is, it has the same number of particles in \uparrow and \downarrow . At the very low temperatures experimentally attained, we can then assume, as a first approximation, that all fermions assemble in $\uparrow\downarrow$ bound pairs, equivalent for our neutral system to superconductor Cooper pairs, these pairs forming furthermore a condensate and a superfluid, as predicted by BCS theory.

At the thermodynamic limit, with the excitation vector \mathbf{q} fixed, the excitation spectrum of the zero temperature system has a pair-breaking continuum of the form $\varepsilon_{\mathbf{q}/2+\mathbf{k}} + \varepsilon_{\mathbf{q}/2-\mathbf{k}}$, where $k \mapsto \varepsilon_{\mathbf{k}}$ is the dispersion relation of a broken pair fragment and the relative wave vector \mathbf{k} of the two fragments spans the entire three-dimensional Fourier space. We limit ourselves here to the usual case, where the bound pairs are of sufficiently large radius (with respect to the average distance between fermions) to exhibit a clear composite boson character, i.e. $k \mapsto \varepsilon_{\mathbf{k}}$ reaches its minimum in a wave number $k_0 > 0$. If $0 < q < 2k_0$, the density of states of the pair-breaking continuum then exhibits, on the real energy axis, two singularity points $\varepsilon_1(q) < \varepsilon_2(q)$, and even a third one $\varepsilon_3(q) > \varepsilon_2(q)$ for q/k_0 sufficiently small. By analytic continuation of the eigenvalue equation through the interval $[\varepsilon_1(q), \varepsilon_2(q)]$, we find that this continuum contains a pair-breaking collective excitation mode of complex energy $z_{\mathbf{q}}$ deviating quadratically with q from its 2Δ limit at $q = 0$, where Δ is the order parameter of the pair condensate, taken real positive at equilibrium. This is predicted both in the weak coupling limit $\Delta \ll \varepsilon_F$ [11], where ε_F is the Fermi energy of the gas, and in the strong coupling limit $\Delta \approx \varepsilon_F$ [12, 13]; according to the used time-dependent BCS theory, it suffices that the chemical potential of the gas is positive, $\mu > 0$, so that $k_0 > 0$. Note that the continuum

mode is often called the amplitude mode, or even the Higgs mode [14], but the analogy with high energy physics is only approximate [15] and the dispersion relation given in reference [14] is incorrect. Note also that other continuum modes can be obtained by analytic continuation through the intervals $[\varepsilon_2(q), +\infty[$, $[\varepsilon_2(q), \varepsilon_3(q)]$ and $[\varepsilon_3(q), +\infty[$ (if $\varepsilon_3(q)$ exists), and that the regime $k_0 = 0$ ($\mu < 0$ according to BCS theory) also exhibits continuum modes by continuation through $[\varepsilon_1(q), +\infty[$ (in this case there is only one singularity point), even within the limit $\mu/\varepsilon_F \rightarrow -\infty$ where the bound pairs reduce to elementary bosons [13]. These exotic modes generally have a complex energy $z_{\mathbf{q}}$ of real part far from their analytic continuation interval at low q and of high imaginary part (in absolute value) at large q , which makes them difficult to observe according to the criteria of reference [12]; so we ignore them here.

The question is how to get evidence for the ordinary continuum branch. The question is important because the branch is currently unobserved: the oscillations of the order parameter at angular frequency $2\Delta/\hbar$ detected in a superconductor [16, 17] or in a cold fermionic atom gas [18] after a spatially homogeneous excitation have a time dependence damped as a power law $\sin(2\Delta t/\hbar + \phi)/t^\alpha$ rather than purely sinusoidal [19–21], and do not result from a discrete mode of the superfluid but simply from a generic effect of the edge 2Δ of the pair-breaking continuum [22, 23]; the key point at $q = 0$ is that, as the theory predicts, the eigenenergy equation has the zero energy as only root (this is the starting point of the Anderson-Bogoliubov acoustic branch), in particular the energy 2Δ is not a root, even after analytic continuation to the lower half-plane [12]. Under certain conditions however, the χ linear response (or susceptibility) functions of the system to an excitation of angular frequency ω and nonzero wavevector \mathbf{q} must exhibit, as functions of the angular frequency, a peak centered near $\omega = \text{Re } z_{\mathbf{q}}/\hbar$ and of approximate half-width $\text{Im } z_{\mathbf{q}}/\hbar$, above the broad continuum response background, which is characteristic of a modal contribution. This is the case for the modulus-modulus response function $\chi_{|\Delta||\Delta|}(\mathbf{q}, \omega)$, where we look at the effect on the modulus of the order parameter of a modulus excitation of the order parameter via a spatial and temporal modulation of the scattering length [12]; such excitation is however difficult to implement. On the other hand, the density excitation of a gas of cold atoms by a Bragg pulse, by means of two laser beams of angular frequency difference ω and of wave

Yvan Castin. Laboratoire Kastler Brossel, ENS-Université PSL, CNRS, Université de la Sorbonne et Collège de France, 24 rue Lhomond, 75231 Paris, France

vector difference \mathbf{q} , is a technique well established in the laboratory, which gave rise to a real Bragg spectroscopy [24–28]. Depending on whether we measure the variation of the total density ρ of the gas (by absorption or dispersion of a laser beam [29]) or the modulus $|\Delta|$ of its order parameter (by interferometry [30] or bosonization of bound pairs $\uparrow\downarrow$ by fast Feshbach ramp [29, 31]) as a result of the Bragg pulse, we access the response function $\chi_{\rho\rho}(\mathbf{q}, \omega)$ or $\chi_{|\Delta|\rho}(\mathbf{q}, \omega)$. On the one hand, the density-density susceptibility of a superfluid fermion gas has been the subject of numerous theoretical [32–38] and experimental [26–28] studies, but without the slightest attention being paid to the continuum mode; on the other hand, the modulus-density susceptibility has rarely been calculated, and to our knowledge never measured with cold atoms. The purpose of this paper is to fill these two gaps, at least theoretically.

2. Response Functions in BCS Theory

Our pairwise condensed fermion gas, initially prepared at equilibrium at zero temperature, is subjected to density excitation, that is, to a perturbation of its Hamiltonian of the form

$$\hat{W}(t) = \int d^3r U(\mathbf{r}, t) \sum_{\sigma=\uparrow,\downarrow} \hat{\psi}_\sigma^\dagger(\mathbf{r}) \hat{\psi}_\sigma(\mathbf{r}) \quad (1)$$

where the real potential $U(\mathbf{r}, t)$ depends on time and space, and the $\hat{\psi}_\sigma(\mathbf{r})$ and $\hat{\psi}_\sigma^\dagger(\mathbf{r})$ field operators, written in Schrödinger's picture, annihilate and create a fermion in spin state σ at point \mathbf{r} and obey the usual fermionic anticommutation relations. When $U(\mathbf{r}, t)$ is weak enough or applied for a short enough time, the system's response to an observable \hat{O} is linear, i.e. the deviation $\delta\langle\hat{O}\rangle$ of the average value of \hat{O} from its equilibrium value is a linear functional of U , described by a susceptibility $\chi_{O\rho}$. We limit ourselves here to two observables, the total density ρ and the modulus $|\Delta|$ of the complex order parameter Δ defined in reference [39]:

$$\delta\rho(\mathbf{r}, t) = \int d^3r' \int dt' \chi_{\rho\rho}(\mathbf{r} - \mathbf{r}', t - t') U(\mathbf{r}', t') \quad (2)$$

$$\delta|\Delta|(\mathbf{r}, t) = \int d^3r' \int dt' \chi_{|\Delta|\rho}(\mathbf{r} - \mathbf{r}', t - t') U(\mathbf{r}', t') \quad (3)$$

As the initial state of the system is stationary and spatially homogeneous, the susceptibilities depend only on the difference of time and position; they are also causal and therefore retarded (zero if $t < t'$). In practice, the Bragg excitation mentioned in the introduction corresponds to the lightshift potential $U(\mathbf{r}, t) = U_0 e^{i(\mathbf{q}\cdot\mathbf{r} - \omega t)} + \text{c.c.}$, where the amplitude U_0 is complex. It gives access, as shown by the insertion of $U(\mathbf{r}, t)$ in (2) and (3), to the spatiotemporal Fourier transform of susceptibilities:

$$\chi(\mathbf{q}, \omega) \equiv \int d^3r \int dt e^{i[(\omega+i\eta)t - \mathbf{q}\cdot\mathbf{r}]} \chi(\mathbf{r}, t) \quad (\eta \rightarrow 0^+) \quad (4)$$

The factor $e^{-\eta t}$ ensuring the convergence of the integral over time is usual for retarded Green functions [40].

To obtain an approximate expression of susceptibilities using time-dependent BCS variational theory, it is convenient

to use a cubic lattice model of spacing b in the quantization volume $[0, L]^3$ with periodic boundary conditions, by making b tend to zero and L tend to infinity at the end of the calculations. The fermions of mass m have the free space dispersion relation $\mathbf{k} \mapsto E_{\mathbf{k}} = \hbar^2 k^2 / 2m$ on the first Brillouin zone $\mathcal{D} = [-\pi/b, \pi/b]^3$, and it is extended by periodicity beyond. They interact by the contact binary potential $V(\mathbf{r}_i, \mathbf{r}_j) = g_0 \delta_{\mathbf{r}_i, \mathbf{r}_j} / b^3$, with a bare coupling constant g_0 adjusted to reproduce the scattering length a of the experiment [41, 42]: $1/g_0 = 1/g - \int_{\mathcal{D}} \frac{d^3k}{(2\pi)^3} \frac{1}{2E_{\mathbf{k}}}$ where $g = 4\pi\hbar^2 a/m$ is the effective coupling constant. The grand canonical ground state of the gas of chemical potential μ (of arbitrary sign in this section) is approximated by the usual state $|\psi_0\rangle$, a coherent state of fermion pairs breaking $U(1)$ symmetry: this is the vacuum of the fermionic quasi-particle annihilation operators $\hat{\gamma}_{\mathbf{k}\sigma}$ defined below. The BCS variational ansatz extends to the time-dependent case [43], and the order parameter is simply

$$\Delta(\mathbf{r}, t) = g_0 \langle \psi(t) | \hat{\psi}_\downarrow(\mathbf{r}) \hat{\psi}_\uparrow(\mathbf{r}) | \psi(t) \rangle \quad (5)$$

To obtain $\chi(\mathbf{q}, \omega)$, the simplest is to consider a percussive excitation in time with a well-defined nonzero wave vector, $U(\mathbf{r}, t) = \hbar\epsilon \cos(\mathbf{q}\cdot\mathbf{r})\delta(t)$, with $\epsilon \rightarrow 0$. The time-dependent perturbation theory gives the state vector just after the perturbation to first order in ϵ :

$$\begin{aligned} |\psi(0^+)\rangle &\simeq \left[1 - i\epsilon \int d^3r \cos(\mathbf{q}\cdot\mathbf{r}) \sum_{\sigma} \hat{\psi}_\sigma^\dagger(\mathbf{r}) \hat{\psi}_\sigma(\mathbf{r}) \right] |\psi(0^-)\rangle \\ &\simeq \left[1 + \frac{i\epsilon}{2} \sum_{\mathbf{k}} (U_+ V_- + U_- V_+) (\hat{\gamma}_{+\uparrow}^\dagger \hat{\gamma}_{-\downarrow}^\dagger + \mathbf{q} \leftrightarrow -\mathbf{q}) \right] |\psi_0\rangle \quad (6) \end{aligned}$$

Here, the indices $+$ and $-$ refer to the wave numbers $\mathbf{q}/2 + \mathbf{k}$ and $\mathbf{q}/2 - \mathbf{k}$, the coefficients $U_{\mathbf{k}} = [\frac{1}{2}(1 + \xi_{\mathbf{k}}/\varepsilon_{\mathbf{k}})]^{1/2}$ and $V_{\mathbf{k}} = [\frac{1}{2}(1 - \xi_{\mathbf{k}}/\varepsilon_{\mathbf{k}})]^{1/2}$ are the amplitudes of the quasi-particle modes on particles and holes, and $\mathbf{k} \mapsto \varepsilon_{\mathbf{k}} = (\xi_{\mathbf{k}}^2 + \Delta^2)^{1/2}$ is their BCS dispersion relation, with $\xi_{\mathbf{k}} = E_{\mathbf{k}} - \mu + g_0\rho/2$.¹ The evolution of density and order parameter for a very weak coherent state of *quasiparticle* pairs as (6) (which remains of course a strong coherent state of fermionic-atom pairs) was calculated with time-dependent BCS theory [44, 45]; by particularizing the general expressions of reference [13], we find for $t > 0$:

$$\begin{pmatrix} 2i\Delta(\delta\theta)_{\mathbf{q}}(t) \\ 2(\delta|\Delta|)_{\mathbf{q}}(t) \\ (\delta\rho)_{\mathbf{q}}(t) \end{pmatrix} = (-i\epsilon) \int_{i\eta+\infty}^{i\eta-\infty} \frac{dz}{2i\pi} \frac{e^{-izt/\hbar}}{M(z, \mathbf{q})} \begin{pmatrix} \Sigma_{13}(z, \mathbf{q}) \\ \Sigma_{23}(z, \mathbf{q}) \\ \Sigma_{33}(z, \mathbf{q}) \end{pmatrix} \quad (7)$$

where $\theta(\mathbf{r}, t) = \arg \Delta(\mathbf{r}, t)$ is the phase of the order parameter and $X_{\mathbf{q}}$ is the Fourier coefficient of $X(\mathbf{r})$ on the plane wave $e^{i\mathbf{q}\cdot\mathbf{r}}$. We had to introduce the 3×3 matrix, function of the complex energy z in the upper half-plane and of the wave

¹ It was necessary to use the modal expansions of the field operators, $\hat{\psi}_\uparrow(\mathbf{r}) = L^{-3/2} \sum_{\mathbf{k}} (\hat{\gamma}_{\mathbf{k}\uparrow} U_{\mathbf{k}} - \hat{\gamma}_{-\mathbf{k}\downarrow}^\dagger V_{\mathbf{k}}) e^{i\mathbf{k}\cdot\mathbf{r}}$ and $\hat{\psi}_\downarrow(\mathbf{r}) = L^{-3/2} \sum_{\mathbf{k}} (\hat{\gamma}_{\mathbf{k}\downarrow} U_{\mathbf{k}} + \hat{\gamma}_{-\mathbf{k}\uparrow}^\dagger V_{\mathbf{k}}) e^{i\mathbf{k}\cdot\mathbf{r}}$.

number,

$$M(z, \mathbf{q}) = \begin{pmatrix} \Sigma_{11}(z, \mathbf{q}) & \Sigma_{12}(z, \mathbf{q}) & -g_0 \Sigma_{13}(z, \mathbf{q}) \\ \Sigma_{12}(z, \mathbf{q}) & \Sigma_{22}(z, \mathbf{q}) & -g_0 \Sigma_{23}(z, \mathbf{q}) \\ \Sigma_{13}(z, \mathbf{q}) & \Sigma_{23}(z, \mathbf{q}) & 1 - g_0 \Sigma_{33}(z, \mathbf{q}) \end{pmatrix} \quad (8)$$

described by the six independent coefficients:

$$\begin{aligned} \Sigma_{11}(z, \mathbf{q}) &= \int_{\mathcal{D}} \frac{d^3 k}{(2\pi)^3} \frac{(\varepsilon_+ + \varepsilon_-)(\varepsilon_+ \varepsilon_- + \xi_+ \xi_- + \Delta^2)}{2\varepsilon_+ \varepsilon_- [z^2 - (\varepsilon_+ + \varepsilon_-)^2]} + \frac{1}{2\varepsilon_{\mathbf{k}}} \\ \Sigma_{22}(z, \mathbf{q}) &= \int_{\mathcal{D}} \frac{d^3 k}{(2\pi)^3} \frac{(\varepsilon_+ + \varepsilon_-)(\varepsilon_+ \varepsilon_- + \xi_+ \xi_- - \Delta^2)}{2\varepsilon_+ \varepsilon_- [z^2 - (\varepsilon_+ + \varepsilon_-)^2]} + \frac{1}{2\varepsilon_{\mathbf{k}}} \\ \Sigma_{33}(z, \mathbf{q}) &= \int_{\mathcal{D}} \frac{d^3 k}{(2\pi)^3} \frac{(\varepsilon_+ + \varepsilon_-)(\varepsilon_+ \varepsilon_- - \xi_+ \xi_- + \Delta^2)}{2\varepsilon_+ \varepsilon_- [z^2 - (\varepsilon_+ + \varepsilon_-)^2]} \\ \Sigma_{12}(z, \mathbf{q}) &= \int_{\mathcal{D}} \frac{d^3 k}{(2\pi)^3} \frac{z(\xi_+ \varepsilon_- + \xi_- \varepsilon_+)}{2\varepsilon_+ \varepsilon_- [z^2 - (\varepsilon_+ + \varepsilon_-)^2]} \\ \Sigma_{13}(z, \mathbf{q}) &= \int_{\mathcal{D}} \frac{d^3 k}{(2\pi)^3} \frac{z\Delta(\varepsilon_+ + \varepsilon_-)}{2\varepsilon_+ \varepsilon_- [z^2 - (\varepsilon_+ + \varepsilon_-)^2]} \\ \Sigma_{23}(z, \mathbf{q}) &= \int_{\mathcal{D}} \frac{d^3 k}{(2\pi)^3} \frac{\Delta(\varepsilon_+ + \varepsilon_-)(\xi_+ + \xi_-)}{2\varepsilon_+ \varepsilon_- [z^2 - (\varepsilon_+ + \varepsilon_-)^2]} \end{aligned} \quad (9)$$

Specializing (2) and (3) to the percussive excitation considered, it comes easily for our lattice model:

$$\chi_{\rho\rho}(\mathbf{q}, \omega) = (0, 0, 1) \cdot \frac{2}{M(z, \mathbf{q})} \begin{pmatrix} \Sigma_{13}(z, \mathbf{q}) \\ \Sigma_{23}(z, \mathbf{q}) \\ \Sigma_{33}(z, \mathbf{q}) \end{pmatrix} \Bigg|_{z=\hbar\omega+i\eta} \quad (10)$$

$$\chi_{|\Delta|\rho}(\mathbf{q}, \omega) = (0, 1, 0) \cdot \frac{1}{M(z, \mathbf{q})} \begin{pmatrix} \Sigma_{13}(z, \mathbf{q}) \\ \Sigma_{23}(z, \mathbf{q}) \\ \Sigma_{33}(z, \mathbf{q}) \end{pmatrix} \Bigg|_{z=\hbar\omega+i\eta} \quad (11)$$

This we will use for a continuous space in what follows.

3. In the BEC-BCS crossover

In the one-parameter space measuring the interaction strength, what we call the BEC-BCS crossover is the intermediate zone between the strong attraction limit $k_F a \rightarrow 0^+$, where the ground state of the system is a Bose-Einstein condensate (BEC) of $\uparrow\downarrow$ dimers of size a small compared to the mean distance between particles, and the limit of weak attraction $k_F a \rightarrow 0^-$, where the ground state is a BCS state of bound pairs $\uparrow\downarrow$ of size $\xi \approx \hbar^2 k_F / m \Delta$ much larger than the interatomic distance. Here $k_F = (3\pi^2 \rho)^{1/3}$ is the Fermi wave number of the gas. The crossover thus corresponds to the regime $1 \lesssim k_F |a|$, which is also the one in which the superfluid fermionic cold atomic gases are prepared in practice, to avoid high losses of particles by three-body collision in the BEC limit and too low critical temperatures in the BCS limit.

However, our lattice model must always have a lattice spacing $b \ll 1/k_F$ to reproduce the physics of continuous space. So we also have $b \ll |a|$, and we are led to make b tend to zero at fixed scattering length. We then replace the first Brillouin zone \mathcal{D} with the whole Fourier space \mathbb{R}^3 . In the definition of Σ_{ij} , this does not lead to any ultraviolet divergence; this triggers one in the expression of $1/g_0$, which makes g_0 tend to zero in matrix (8):

$$g_0 \rightarrow 0 \quad (12)$$

The dispersion relation of BCS excitations is reduced to $\varepsilon_{\mathbf{k}} = [(E_{\mathbf{k}} - \mu)^2 + \Delta^2]^{1/2}$; it has a minimum Δ at a wave number $k_0 > 0$, and the gas has a continuum collective excitation branch starting at 2Δ [12, 13], when the chemical potential μ is > 0 , which we will assume now. Similarly, expressions (10) and (11) of susceptibilities are simplified as follows:

$$\chi_{\rho\rho} = \frac{2 \begin{vmatrix} \Sigma_{11} & \Sigma_{12} & \Sigma_{13} \\ \Sigma_{12} & \Sigma_{22} & \Sigma_{23} \\ \Sigma_{13} & \Sigma_{23} & \Sigma_{33} \end{vmatrix}}{\begin{vmatrix} \Sigma_{11} & \Sigma_{12} \\ \Sigma_{12} & \Sigma_{22} \end{vmatrix}}, \quad \chi_{|\Delta|\rho} = \frac{\begin{vmatrix} \Sigma_{11} & \Sigma_{13} \\ \Sigma_{12} & \Sigma_{23} \end{vmatrix}}{\begin{vmatrix} \Sigma_{11} & \Sigma_{12} \\ \Sigma_{12} & \Sigma_{22} \end{vmatrix}} \quad (13)$$

where $|A|$ is the determinant of matrix A , and where we have made implicit the dependence of χ on (\mathbf{q}, ω) and Σ_{ij} on (z, \mathbf{q}) to shorten the notations.² The value of $\chi_{\rho\rho}$ given agrees with equation (118) of reference [38].

Let's look for the possible signature of the continuum mode in the low-wavenumber response functions, $q \rightarrow 0$, where the imaginary part of the complex energy $z_{\mathbf{q}}$ is the lowest. This is where the mode has *a priori* the best chance of emerging from the broad response background of the continuum as a narrow peak in the ω domain. In this limit, under the condition $q \ll k_0 \min(\Delta/\mu, (\mu/\Delta)^{1/2})$ [13], the continuum branch has a quadratic dispersion in q :

$$z_{\mathbf{q}} \underset{q \rightarrow 0}{=} 2\Delta + \zeta_0 \frac{\hbar^2 q^2}{2m} \frac{\mu}{\Delta} + O(q^3) \quad (14)$$

The coefficient ζ_0 is a solution in the lower complex half-plane of a transcendental equation given in reference [12] (generalizing that of [11] to the BEC-BCS crossover). It is plotted as a function of the interaction strength in figure 4, and its limiting behaviors are given in [12]. We will remember here that its real part is positive for $\Delta/\mu < 1.21$, and negative otherwise. Let's calculate the response functions on the real axis of angular frequencies near the continuum mode, by imposing the same wave number scale law as in (14):

$$\hbar\omega \equiv 2\Delta + \nu \frac{\hbar^2 q^2}{2m} \frac{\mu}{\Delta} \quad (\nu \in \mathbb{R}) \quad (15)$$

that is, by making q tend to zero at an arbitrary fixed reduced frequency ν . This amounts to observing the angular-frequency axis around $2\Delta/\hbar$ under a diverging magnification $\propto q^{-2}$. In the following, it will be convenient to set

$$\zeta = \nu + i\eta \quad (\eta \rightarrow 0^+) \quad (16)$$

by analogy with $z = \hbar\omega + i\eta$ in (10) and (11). Since the singularity points $\varepsilon_1(q)$ and $\varepsilon_2(q)$ of the continuum density of states at fixed \mathbf{q} mentioned in the introduction verify $\varepsilon_1(q) = 2\Delta$ and $\varepsilon_2(q) = 2\Delta + (\mu/\Delta)\hbar^2 q^2 / 2m + O(q^4)$ [12], we expect in the limit $q \rightarrow 0$ that the response functions exhibit frequency singularities in $\nu = 0$ and $\nu = 1$, and that it is necessary to carry out the analytic continuation of the eigenvalue

² Indeed, the vector $\mathbf{x} = M^{-1}\mathbf{s}$ is the solution of the system $M\mathbf{x} = \mathbf{s}$, which one solves by the method of Cramer, with \mathbf{s} the column vector of (10) and (11), to obtain its coordinates x_2 and x_3 .

equation to $\text{Im } \zeta < 0$ passing between the points $\nu = 0$ (i.e. $\hbar\omega = \varepsilon_1(q)$) and $\nu = 1$ (i.e. $\hbar\omega = \varepsilon_2(q) + O(q^4)$) to find the continuum mode. The fact that these singularities remain at finite ν when $q \rightarrow 0$ makes it possible to immediately eliminate a false hope: even if its energy width tends towards zero like q^2 , the continuum mode cannot lead to a very narrow peak in relative value in the frequency response functions, because the ‘‘broad’’ contribution of the continuum has a structure varying at the same scale $\propto q^2$. On the other hand, the third singularity point $\varepsilon_3(q) = (\mu^2 + \Delta^2)^{1/2} + O(q^2)$ is irrelevant because rejected at $\nu = +\infty$ by the change of scale (15). For the calculation of χ itself, the method for expanding the quantities Σ_{ij} in powers of q at fixed ν is known [12]: it is not enough to naively expand the integrals over k under the integral sign in powers of q , but it is necessary to treat separately the k -wave vector shell of thickness $\propto q$ around the sphere $k = k_0$, which gives in general the dominant contribution because the energy denominators take extremely low values there, of the order of q^2 .³ The forms (13) would lead to rather long calculations because, at the dominant order in q , the first and the last column of determinants at the numerators are equivalent ($\Sigma_{i3} \sim \Sigma_{1i}$, $1 \leq i \leq 3$), which gives a zero result and forces us to get the subdominant orders of Σ_{ij} . We can fortunately perform clever linear combinations without changing the value of these determinants, subtracting the first column from the last one and then, only in $\chi_{\rho\rho}$, subtracting the first line from the third one:

$$\chi_{\rho\rho} = \frac{2 \begin{vmatrix} \Sigma_{11} & \Sigma_{12} & \delta\Sigma_{13} \\ \Sigma_{12} & \Sigma_{22} & \delta\Sigma_{23} \\ \delta\Sigma_{13} & \delta\Sigma_{23} & \delta\Sigma_{33} \end{vmatrix}}{\begin{vmatrix} \Sigma_{11} & \Sigma_{12} \\ \Sigma_{12} & \Sigma_{22} \end{vmatrix}}, \chi_{|\Delta|\rho} = \frac{\begin{vmatrix} \Sigma_{11} & \delta\Sigma_{13} \\ \Sigma_{12} & \delta\Sigma_{23} \end{vmatrix}}{\begin{vmatrix} \Sigma_{11} & \Sigma_{12} \\ \Sigma_{12} & \Sigma_{22} \end{vmatrix}} \quad (17)$$

with

$$\delta\Sigma_{13} \equiv \Sigma_{13} - \Sigma_{11}, \delta\Sigma_{23} \equiv \Sigma_{23} - \Sigma_{12}, \delta\Sigma_{33} \equiv \Sigma_{33} + \Sigma_{11} - 2\Sigma_{13} \quad (18)$$

We then expand these $\delta\Sigma$ after recalculation of their integrand by linear combination of the integrands of Σ_{ij} . It suffices here to know the dominant order of $\delta\Sigma$ and of the remaining Σ_{ij} ,

³After passing in spherical coordinates of axis \mathbf{q} , one separates the domain of integration on the modulus k in the two components $I = [k_0 - Aq, k_0 + Aq]$ and $J = \mathbb{R}^+ \setminus I$, where $A \gg 1$ is fixed. On J , we expand directly the integral in powers of q at fixed k . On I , we make the change of variable $k = k_0 + qK$ then we expand the integral in powers of q at fixed K . We collect the contributions of I and J order by order in q , then we make A tend to $+\infty$ in the coefficients of the monomials q^n . In results (19), the contribution of J is negligible except in $\delta\Sigma_{23}^{[2]}$ and $\delta\Sigma_{33}^{[2,3]}$.

except for $\delta\Sigma_{33}$ where the subleading order is required:

$$\begin{aligned} \check{\Sigma}_{11}^{[-1]} &= \frac{\check{\Delta}}{8i\pi} \text{asin} \frac{1}{\sqrt{\zeta}}, \check{\Sigma}_{22}^{[1]} = \frac{\zeta \text{asin} \frac{1}{\sqrt{\zeta}} + \sqrt{\zeta - 1}}{16i\pi\check{\Delta}}, \\ \check{\Sigma}_{12}^{[0]} &= \frac{\sqrt{e^{2\tau} - 1}}{-(2\pi)^2} \left[\text{Re} \Pi(e^\tau, ie^\tau) - \Pi(-e^\tau, ie^\tau) + \frac{K(ie^\tau)}{\text{sh } \tau} \right], \\ \delta\check{\Sigma}_{13}^{[1]} &= \frac{i\sqrt{\zeta - 1}}{16\pi\check{\Delta}}, \delta\check{\Sigma}_{23}^{[2]} = \frac{(2/3 - \zeta)}{2\check{\Delta}^2} \check{\Sigma}_{12}^{[0]} - \frac{\sqrt{1 - e^{-2\tau}}}{24\pi^2} \times \\ &[E(ie^\tau) - e^\tau \text{ch } \tau K(ie^\tau)], \delta\check{\Sigma}_{33}^{[2]} = \frac{\sqrt{1 - e^{-2\tau}}}{24\pi^2\check{\Delta}} \times [E(ie^\tau) \\ &+ \text{coth } \tau K(ie^\tau)], \delta\check{\Sigma}_{33}^{[3]} = \frac{(\zeta - 2)\sqrt{\zeta - 1} + \zeta^2 \text{asin} \frac{1}{\sqrt{\zeta}}}{64i\pi\check{\Delta}^3} \quad (19) \end{aligned}$$

where $\check{\Sigma}_{ij}^{[n]}$ ($\delta\check{\Sigma}_{ij}^{[n]}$) is the coefficient of \check{q}^n in the Taylor expansion of $\check{\Sigma}_{ij}$ ($\delta\check{\Sigma}_{ij}$). The first three identities are already in [12, 13]. The Czech accent indicates the rescaling of energies by μ ($\check{\Delta} = \Delta/\mu$), wave numbers by k_0 ($\check{q} = q/k_0$) and Σ_{ij} by k_0^3/μ , with $k_0 = (2m\mu)^{1/2}/\hbar$ here. The expressions of several integrals over k have been used in terms of complete elliptic integrals K , E and Π of first, second and third kinds [46], in particular those given in reference [47], after putting $\text{sh } \tau = 1/\check{\Delta}$ to abbreviate.⁴ We finally get the low q behavior of response functions:

$$\begin{aligned} \check{\chi}_{\rho\rho} &\stackrel{\nu \text{ fixed}}{q \rightarrow 0} 2\check{q}^2 \delta\check{\Sigma}_{33}^{[2]} + 2\check{q}^3 \left[\delta\check{\Sigma}_{33}^{[3]} \right. \\ &+ \left. \frac{2\check{\Sigma}_{12}^{[0]} \delta\check{\Sigma}_{13}^{[1]} \delta\check{\Sigma}_{23}^{[2]} - \check{\Sigma}_{22}^{[1]} \delta\check{\Sigma}_{13}^{[1]2} - \check{\Sigma}_{11}^{[-1]} \delta\check{\Sigma}_{23}^{[2]2}}{\check{\Sigma}_{11}^{[-1]} \check{\Sigma}_{22}^{[1]} - \check{\Sigma}_{12}^{[0]2}} \right] + O(\check{q}^4) \quad (20) \\ \chi_{|\Delta|\rho} &\stackrel{\nu \text{ fixed}}{q \rightarrow 0} \check{q} \frac{\check{\Sigma}_{11}^{[-1]} \delta\check{\Sigma}_{23}^{[2]} - \check{\Sigma}_{12}^{[0]} \delta\check{\Sigma}_{13}^{[1]}}{\check{\Sigma}_{11}^{[-1]} \check{\Sigma}_{22}^{[1]} - \check{\Sigma}_{12}^{[0]2}} + O(\check{q}^2) \quad (21) \end{aligned}$$

where $\chi_{\rho\rho}$ is expressed in units of k_0^3/μ and $\chi_{|\Delta|\rho}$ is naturally dimensionless. A more explicit dependence on the reduced frequency ν is obtained by passing to the limit $\eta \rightarrow 0^+$ as in equation (16):

$$\begin{aligned} \text{asin} \frac{1}{\sqrt{\zeta}} &\xrightarrow{\eta \rightarrow 0^+} \begin{cases} -i \text{argsh} \frac{1}{\sqrt{-\nu}} & \text{if } \nu < 0 \\ \frac{\pi}{2} - i \text{argch} \frac{1}{\sqrt{\nu}} & \text{if } 0 < \nu < 1 \text{ and} \\ \text{asin} \frac{1}{\sqrt{\nu}} & \text{if } 1 < \nu \end{cases} \\ \sqrt{\zeta - 1} &\xrightarrow{\eta \rightarrow 0^+} \begin{cases} i\sqrt{1 - \nu} & \text{if } \nu < 1 \\ \sqrt{\nu - 1} & \text{if } \nu > 1 \end{cases} \quad (22) \end{aligned}$$

It allows to check that the coefficient $\check{\chi}_{\rho\rho}^{[3]}$ of the contribution of order \check{q}^3 in (20) and that $\check{\chi}_{|\Delta|\rho}^{[1]}$ of the contribution of order \check{q} in (21) have a zero imaginary part for $\nu < 0$ (this was predictable and happens in the response functions to all orders in q because the density of states of the pair-breaking continuum $\mathbf{k} \mapsto \varepsilon_{\mathbf{q}/2+\mathbf{k}} + \varepsilon_{\mathbf{q}/2-\mathbf{k}}$ is zero at energies below 2Δ) and a zero real part for $\nu > 1$ (this for a physical reason that we do not

⁴We also used, for $x \geq 0$, $E(ix) = \sqrt{1+x^2}E(x/\sqrt{1+x^2})$ and $K(ix) = K(x/\sqrt{1+X^2})/\sqrt{1+X^2}$ [46]. For example, $\int_0^{+\infty} dk \frac{\check{k}^2 \check{\varepsilon}_k}{\check{\varepsilon}_k^3} = K(ie^\tau)\sqrt{e^{2\tau} - 1}/2$.

know, and which does not hold to all orders in q). These coefficients have a finite and real limit at $\nu = 0$, reached slowly (logarithmically, with a deviation varying as $1/\ln|\nu|$),

$$\lim_{\nu \rightarrow 0} \check{\chi}_{\rho\rho}^{[3]}(\nu) = -\frac{1}{16\pi\check{\Delta}^3} - 32\pi\check{\Delta}[\delta\check{\Sigma}_{23}^{[2]}(\nu=0)]^2 \quad (23)$$

$$\lim_{\nu \rightarrow 0} \check{\chi}_{|\Delta|\rho}^{[1]}(\nu) = 16\pi\check{\Delta}\delta\check{\Sigma}_{23}^{[2]}(\nu=0) \quad (24)$$

which gives rise to a sharp spike, with a vertical tangent, in the ν dependence, as in reference [12]; they have at $\nu = 1$ a singularity $|\nu - 1|^{1/2}$, on the real part for $\nu \rightarrow 1^-$, on the imaginary part for $\nu \rightarrow 1^+$, which gives rise to an ordinary kink with a vertical tangent (see figure 2 to come).

Let's physically analyze results (20, 21). First, the dominant term (of order q^2) in the density-density response function is of little interest for our study: it is insensitive to the continuum mode since the functions $\Sigma_{ij}(z, \mathbf{q})$, even after continuation to the lower half complex plane, have no poles. Fortunately, it constitutes a background independent of the reduced frequency ν , as can be verified on equation (19); it is therefore possible to get rid of it experimentally by considering the difference

$$\check{\chi}_{\rho\rho}(\check{q}, \nu) - \check{\chi}_{\rho\rho}(\check{q}, \nu_0) \quad (25)$$

where ν is the running variable and ν_0 , the reduced reference frequency, is fixed. We also note that this background of order q^2 is real, so that it does not contribute to the imaginary part of $\chi_{\rho\rho}$, which is often what we measure really in the experiment [28]. On the other hand, the subdominant term (of order q^3) in $\chi_{\rho\rho}$ is sensitive to the continuum mode: as it contains functions Σ_{ij} in the denominator, its analytic continuation to the lower half complex plane through the interval $\nu \in [0, 1]$ has a pole at $\zeta = \zeta_0$, where the complex number ζ_0 is that of equation (14), with a nonzero residue, see figure 1a. The same conclusion applies for the dominant term (of order q) in the modulus-density response function, see figure 1b.^{5 6} Unsurprisingly, the residue Z of the continuum mode, plotted in

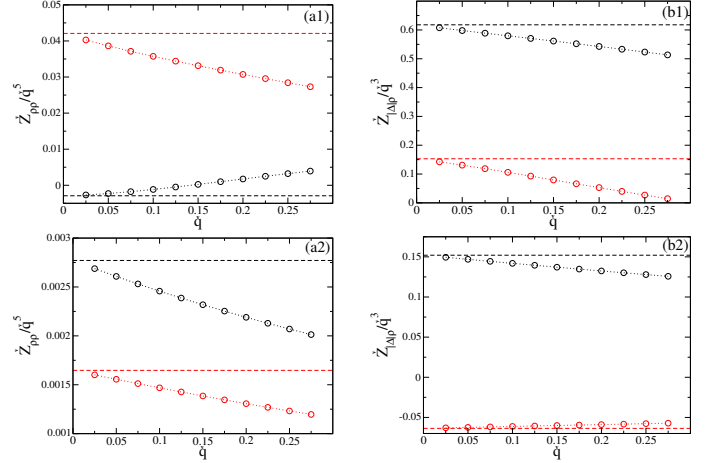


Fig. 1. Complex spectral weight of the continuum mode in the density-density (column a) and modulus-density (column b) response functions, that is the residue $Z_{\rho\rho}$ or $Z_{|\Delta|\rho}$ of the analytic continuation of $\chi_{\rho\rho}(\mathbf{q}, z/\hbar)$ or of $\chi_{|\Delta|\rho}(\mathbf{q}, z/\hbar)$ from $\text{Im } z > 0$ to $\text{Im } z < 0$ (through the interval between their first two singularities $\varepsilon_1(q)$ and $\varepsilon_2(q)$ on \mathbb{R}^+) at the pole z_q (complex energy of the mode), as functions of the wave number q , on the $\mu > 0$ side of the BEC-BCS crossover (12), for $\check{\Delta} = 1/2$ (line 1) and $\check{\Delta} = 2$ (line 2). The residues were divided by the power of q ensuring the existence of a finite and nonzero limit at $q = 0$. In black: real part; in red: imaginary part. Circles connected by a dotted line: numerical results from general forms (13); the analytic continuation is carried out as in [12, 13] by the method of the spectral densities of reference [48], see our footnote 6. Horizontal dashes: limit at $q = 0$, taken from the analytical results (20, 21) continued as in footnote 5. Czech accent: $\check{\Delta} = \Delta/\mu$, q rescaled by $k_0 = (2m\mu)^{1/2}/\hbar$ ($\check{q} = q/k_0$), $Z_{\rho\rho}$ rescaled by k_0^3 and $Z_{|\Delta|\rho}$ rescaled by μ .

these figures as a function of q , is complex, since both the response functions and the energy z_q are complex. In practice, the phase of Z does not matter (the pole is unique and its contribution cannot interfere with that of another pole) and it is its modulus which characterizes the spectral weight of the mode; we therefore plot $|Z|$ (or more precisely the coefficient of its dominant order in q) as a function of the interaction strength in figure 4.

However, the physical measurements take place on the real axis of angular frequencies. So we have plotted $\check{\chi}_{\rho\rho}^{[3]}$ and $\check{\chi}_{|\Delta|\rho}^{[1]}$ as functions of the reduced frequency ν on figure 2, for two values of the interaction strength. The expected narrow structures should be on the analytic continuation interval $\nu \in [0, 1]$, almost above the pole ζ_0 so close to the vertical green solid line. For $\check{\Delta} = 1/2$ (first line of the figure), we are in the favorable case $\text{Re } \zeta_0 \in [0, 1]$; now, $\check{\chi}_{\rho\rho}^{[3]}$ exhibits, on the interval $[0, 1]$, a shoulder-shaped structure with a maximum and a minimum, as well on its real part as on its imaginary part; even better, $\check{\chi}_{|\Delta|\rho}^{[1]}$ has a fairly pronounced bump on its real part over the same interval, even if it is quite far from the green line, and a fairly visible dip on its imaginary part, close to the line. For $\check{\Delta} = 2$ (second line of the figure), we are in the disadvantageous case $\text{Re } \zeta_0 < 0$; the response functions should therefore keep track of the continuum mode over the interval $\nu \in [0, 1]$

⁵ The analytic continuation of $\zeta \mapsto \check{\chi}_{\rho\rho}^{[3]}$ and $\zeta \mapsto \check{\chi}_{|\Delta|\rho}^{[1]}$ from the upper half-plane to the lower half-plane is done by passing through the interval $[0, 1]$ (connecting their singularities in $\nu = 0$ and $\nu = 1$ on the real axis) by the substitutions $\text{asin } \frac{1}{\sqrt{\zeta}} \rightarrow \pi - \text{asin } \frac{1}{\sqrt{\zeta}}$ and $\sqrt{\zeta - 1} \rightarrow -\sqrt{\zeta - 1}$ as in reference [12]. The analytic continuation of the denominator in the right-hand side of equations (20) and (21) gives precisely the function of [12] whose ζ_0 is a root. There is no other continuation interval to consider because the denominator of $\check{\chi}_{\rho\rho}^{[3]}$ and $\check{\chi}_{|\Delta|\rho}^{[1]}$ (continued to $\mathbb{C} \setminus \mathbb{R}$ by the identities $\Sigma_{ij}(z) = [\Sigma_{ij}(z^*)]^*$) has no branch cut for $\nu \in]-\infty, 0[$ (due to a vanishing density of states of the pair-breaking continuum) nor for $\nu \in [1, +\infty[$ (due to a compensation of the discontinuities of $\check{\Sigma}_{11}^{[-1]}$ and $\check{\Sigma}_{22}^{[1]}$ on this half-line, which are simply sign changes).

⁶ The analytic continuation of the functions $\Sigma_{ij}(z)$ from $\text{Im } z > 0$ to $\text{Im } z < 0$ is given by $\Sigma_{ij} \downarrow(z) = \Sigma_{ij}(z) - \frac{2i\pi}{(2\pi)^3} \rho_{ij}(z)$ in terms of the spectral densities defined on \mathbb{R}^+ by $\text{Im } \Sigma_{ij}(\varepsilon + i0^+) = -\frac{\pi}{(2\pi)^3} \rho_{ij}(\varepsilon)$ [48], which it suffices to know on the continuation interval between the first two branching points $\varepsilon_1(q) = 2\Delta$ and $\varepsilon_2(q)$ [12]. Then $\rho_{13}(\varepsilon) = (\frac{2m}{\hbar^2})^2 \frac{\pi\varepsilon}{2q} K(\text{ish } \Omega)$, $\rho_{23}(\varepsilon) = 0$, $\rho_{33}(\varepsilon) = (\frac{2m}{\hbar^2})^2 \frac{\pi\Delta}{q} E(\text{ish } \Omega)$, with $\Omega = \text{argch } \frac{\varepsilon}{2\Delta}$. The other $\rho_{ij}(\varepsilon)$ are in references [12, 13].

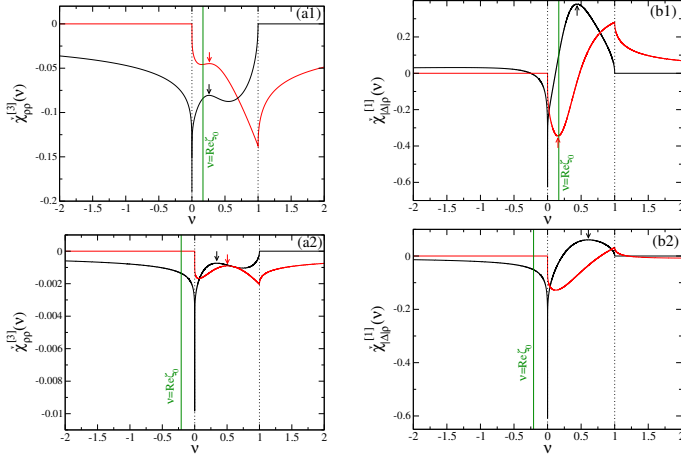


Fig. 2. First coefficient sensitive to the continuum mode in the low-wavenumber expansion q (20, 21) of the density-density (column a, order q^3) and modulus-density (column b, order q) response functions, on the $\mu > 0$ side of the BEC-BCS crossover (12), for $\tilde{\Delta} = 1/2$ (line 1) and $\tilde{\Delta} = 2$ (line 2), as a function of the reduced frequency ν of equation (15) (using the variable ν rather than ω amounts to looking cleverly at the angular-frequency axis around $2\Delta/\hbar$ with divergent magnification $\propto q^{-2}$ exactly compensating for the narrowing of the continuum mode when $q \rightarrow 0$). Black full line: real part; red full line: imaginary part. Vertical dots: positions $\nu = 0$ and $\nu = 1$ of the singularities. Green vertical line: reduced real part $\text{Re } \zeta_0$ of the complex energy of the continuum mode. The extrema indicated by an arrow are a physical mark of the continuum mode on the real frequency axis (see text and figure 3). Czech accent: $\tilde{\Delta}$ rescaled by μ , q rescaled by $k_0 = (2m\mu)^{1/2}/\hbar$, $\chi_{\rho\rho}(\mathbf{q}, \omega)$ rescaled by k_0^3/μ ; $\chi_{|\Delta|\rho}(\mathbf{q}, \omega)$ is already dimensionless.

only through the associated complex resonance wing, and no longer as extrema; unfortunately, the structures observed remain essentially the same as for $\tilde{\Delta} = 1/2$, which casts a dreadful doubt on their link with the continuum mode.⁷

To see what really happens, we perform an analytic continuation of the coefficients $\tilde{\chi}_{\rho\rho}^{[3]}(\zeta)$ and $\tilde{\chi}_{|\Delta|\rho}^{[1]}(\zeta)$ to the lower complex plane $\text{Im } \zeta < 0$ as in footnote 5, then we find the position of the extrema of the real part or the imaginary part of these coefficients, that is, their abscissa ν_R , on the horizontal line $\zeta = \nu_R + i\nu_I$ of fixed ordinate ν_I , and we finally plot the locus of these extrema when ν_I varies in the interval $]\text{Im } \zeta_0, 0]$, see figure 3. This locus is the union of continuous lines (its connected components); some, but not all,⁸ converge to the pole ζ_0 .⁹ Any extremum of $\tilde{\chi}_{\rho\rho}^{[3]}$ or $\tilde{\chi}_{|\Delta|\rho}^{[1]}$ on the

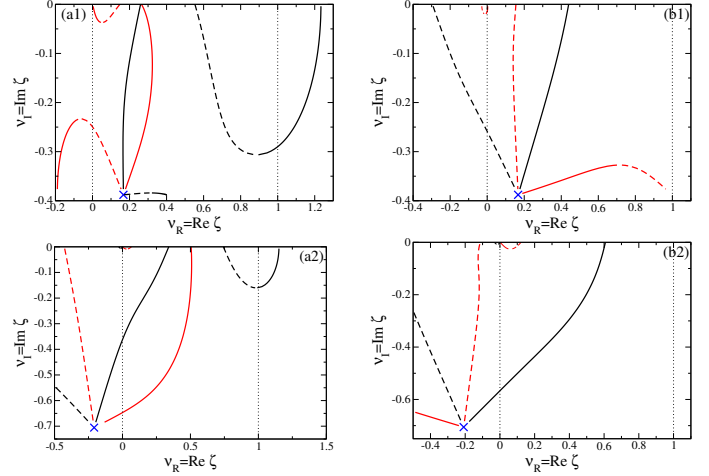


Fig. 3. Locus of the extrema of the functions of the real part $\nu_R \mapsto \text{Re } \chi^{[n]} \downarrow (\zeta = \nu_R + i\nu_I)$ (in black) and $\nu_I \mapsto \text{Im } \chi^{[n]} \downarrow (\zeta = \nu_R + i\nu_I)$ (in red) when the imaginary part ν_I of ζ varies. Here $\chi^{[n]} \downarrow (\zeta)$ is the coefficient of q^n in the low q expansion of the susceptibility $\chi(\mathbf{q}, \omega)$ at fixed ν in (15), see equations (20, 21), analytically continued from $\text{Im } \zeta > 0$ to $\text{Im } \zeta < 0$ through $\nu \in [0, 1]$ as indicated by the arrow \downarrow in the notation $\chi \downarrow$. Column (a): $\chi = \chi_{\rho\rho}$ and $n = 3$; column (b): $\chi = \chi_{|\Delta|\rho}$ and $n = 1$. The fermion gas is in the BEC-BCS crossover on the $\mu > 0$ side: $\Delta/\mu = 1/2$ (line 1) and $\Delta/\mu = 2$ (line 2). Full line: the extremum is a maximum. Dashed line: the extremum is a minimum. Blue cross: reduced complex energy ζ_0 of the continuum mode. Vertical dots: positions $\nu = 0$ and $\nu = 1$ of the singularities of $\chi^{[n]}(\nu)$ on the real axis.

real interval $\nu \in]0, 1[$ connected continuously to the pole by one of these lines is undoubtedly a physical mark of the continuum mode, observable in the associated response function; the other extrema on the real axis are not. Hence the verdict on figure 2: for $\tilde{\Delta} = 1/2$, only the maximum of $\text{Re } \tilde{\chi}_{\rho\rho}^{[3]}$, the maximum of $\text{Im } \tilde{\chi}_{\rho\rho}^{[3]}$, the maximum of $\text{Re } \tilde{\chi}_{|\Delta|\rho}^{[1]}$ and the minimum of $\text{Im } \tilde{\chi}_{|\Delta|\rho}^{[1]}$ on $\nu \in]0, 1[$ are physical marks of the continuum mode; for $\tilde{\Delta} = 2$, this is the case only for the maximum of $\text{Re } \tilde{\chi}_{\rho\rho}^{[3]}$, for the maximum of $\text{Im } \tilde{\chi}_{\rho\rho}^{[3]}$ and the maximum of $\text{Re } \tilde{\chi}_{|\Delta|\rho}^{[1]}$ on $\nu \in]0, 1[$.

Ultimately, it remains to be seen how well we can extract the position and the spectral weight of the continuum mode from measures of response functions on the reduced frequency inter-

lines in total. Indeed a meromorphic function $f(\zeta)$ in the neighborhood of its pole ζ_0 is equivalent to $Z/(\zeta - \zeta_0)$, where Z is the residue. From real and imaginary part decompositions $Z = a + ib$, $\zeta - \zeta_0 = x + iy$, and the change of scale $x = yX$, where $y > 0$ is the distance from the horizontal line $\zeta = \nu_R + i\nu_I$ to the pole, we get $f(\zeta) \sim y^{-1} \left(\frac{aX+b}{X^2+1} + i \frac{bX-a}{X^2+1} \right)$. Now, for all $u \in \mathbb{R}$, the function $X \mapsto (X+u)/(X^2+1)$ has on \mathbb{R} a minimum at $-u - \sqrt{1+u^2}$ and a maximum at $-u + \sqrt{1+u^2}$. So, if $a \neq 0$ ($b \neq 0$), we see converge to ζ_0 two lines of extrema of the real (imaginary) part. For $\tilde{\Delta} = 1/2$, the line of minima of $\text{Re } \tilde{\chi}_{\rho\rho}^{[3]}$ comes almost horizontally (from the right, with a slope $\simeq -a/2b$, see figure 3a1) because the residue is almost purely imaginary, $\tilde{Z}_{\rho\rho} \sim (-0.003 + 0.04i)q^5$ as we see in figure 1a1.

⁷When $\text{Re } \zeta_0 < 0$ in general, one should not expect to see any bump or dip associated with the continuum mode in the response functions on the interval $\nu \in]-\infty, 0[$. Indeed, this physical interval is separated from the pole by the end of the $[0, 1]$ branch cut that had to be folded back to $]-\infty, 0[$ to carry out the analytic continuation, the other end being folded back on $[1, +\infty[$.

⁸A line of maxima and a line of minima of $\text{Re } \chi$ ($\text{Im } \chi$) can meet at a terminal point where $\text{Re } \partial_{\nu_R}^2 \chi = 0$ ($\text{Im } \partial_{\nu_R}^2 \chi = 0$).

⁹At ζ_0 , we generally expect to see a line of minima and a line of maxima of the real part and of the imaginary part converge, i.e. four

val $\nu \in [0, 1]$. To this end, we propose a very simple fit of the susceptibilities $\chi(\mathbf{q}, \omega)$ by the sum of the contribution of the collective mode pole and a slowly variable affine background describing the broad response of the continuum:

$$\tilde{\chi}_{|\Delta|\rho}^{[1]}(\nu)|_{\text{fit}} = \frac{A}{\nu - B} + C + D\nu \quad (A, B, C, D \in \mathbb{C}) \quad (26)$$

taking the example of the modulus-density response limited to its dominant order in q . The fit function is balanced in its search for precision, since it describes the background with the same number of complex adjustable parameters (C and D) as the resonance (A and B), that is one parameter more than in reference [12]. The fit is performed on a sub-interval $[\nu_1, \nu_2]$ of $[0, 1]$ in order to avoid the singularities at the boundaries. The result is very encouraging for the modulus-density response, see figure 4a: we obtain a good approximation of the complex energy and the spectral weight of the mode, even for $\tilde{\Delta} > 1.21$ where $\text{Re} \zeta_0 < 0$ and where the pole is no longer below the analytic continuation (and measurement) interval $\nu \in [0, 1]$. On the other hand, the result is bad for the density-density response, see figure 4b, except perhaps for the width of the resonance. To understand this difference in success according to the observable $|\Delta|$ or ρ , we have calculated the relative height h_{rel} of the contribution of the resonance above the background.¹⁰ For $\tilde{\Delta} < 2$, we always find that $h_{\text{rel}} > 1$ for the modulus of the order parameter, but that $h_{\text{rel}} < 1$ for the density. For example, for $\tilde{\Delta} = 1/2$, $h_{\text{rel}}^{|\Delta|\rho} \simeq 1.8$ while $h_{\text{rel}}^{\rho\rho} \simeq 0.37$. The problem is that the complex resonance does not emerge from the background enough in the density-density response. This problem becomes prohibitive in the low interaction limit, where $h_{\text{rel}}^{\rho\rho} \rightarrow 0$, while it does not arise for the modulus, since $h_{\text{rel}}^{|\Delta|\rho} \rightarrow 2.338\dots$ for $\nu_1 < \text{Re} \zeta_0$, see section 4.

4. In the BCS limit of weak interaction

The weak attraction regime $k_F a \rightarrow 0^-$, although not very relevant for cold atom experiments, has some theoretical interest: it is indeed there that the used BCS theory is most quantitative and most reliable. A clever way to take the continuous limit of our lattice model corresponds to the chain of inequalities $0 < -a \ll b \ll 1/k_F$: we can continue to replace the integration domain \mathcal{D} by \mathbb{R}^3 in the definition of Σ_{ij} , but as $|a|/b \ll 1$, the interaction between fermions is now in Born's regime of scattering theory, so that g_0 can be approximated by g in matrix (8),

$$g_0 \rightarrow g \quad (27)$$

and the mean-field Hartree shift does not vanish in the BCS spectrum, with $\xi_{\mathbf{k}} = E_{\mathbf{k}} - \mu + \rho g/2$. At order one in $k_F a$, the equation of state of the gas at zero temperature contains precisely this Hartree term, $\mu = \varepsilon_F + \rho g/2$; the corresponding BCS spectrum is simply $\varepsilon_{\mathbf{k}} = [(E_{\mathbf{k}} - \varepsilon_F)^2 + \Delta^2]^{1/2}$, in

¹⁰For a given function $\chi(\nu)$, we define the background by $F(\nu) = \chi(\nu) - Z_0/(\nu - \zeta_0)$, ζ_0 being the pole of the analytic continuation of χ to the lower complex half-plane and Z_0 the associated residue. Then $h_{\text{rel}} = |Z_0/(\nu_0 - \zeta_0)|/|F(\nu_0)|$ with $\nu_0 = \max(\nu_1, \text{Re} \zeta_0)$.

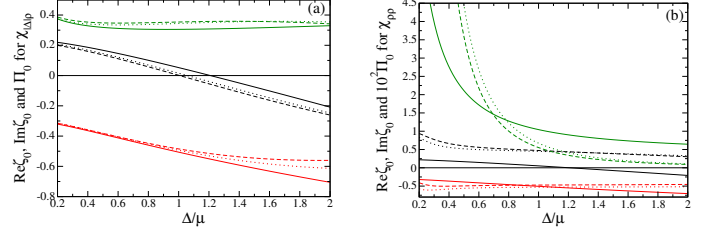


Fig. 4. Extraction of the complex energy of the continuum mode and its spectral weight by a fit with four complex parameters (26) of the response functions $\chi(\mathbf{q}, \omega)$ in the BEC-BCS crossover on the $\mu > 0$ side (the value $\tilde{\Delta} = 0.2$ corresponding to $k_F a \simeq -1$ in BCS theory). (a) By fitting the coefficient $\tilde{\chi}_{|\Delta|\rho}^{[1]}(\nu)$ of \tilde{q} in the expansion (21) of the modulus-density response function. (b) Idem for the coefficient $\tilde{\chi}_{\rho\rho}^{[3]}(\nu)$ of \tilde{q}^3 in (20). In black (red): real (imaginary) part of the coefficient ζ_0 in the quadratic start (14) of the complex energy. In green: spectral weight Π_0 of the mode in the considered response function (this is the residue modulus of the analytic continuation of $\tilde{\chi}^{[n]}$ at ζ_0 , so that $\Pi_0 = \lim_{\tilde{q} \rightarrow 0} \tilde{\Delta} |\tilde{Z}_{|\Delta|\rho}| / \tilde{q}^3$ in (a) and $\Pi_0 = \lim_{\tilde{q} \rightarrow 0} \tilde{\Delta} |\tilde{Z}_{\rho\rho}| / \tilde{q}^5$ in (b), where the \tilde{Z} are those of figure 1 and account was taken of rescaling (15)). Full line: exact values. Dashed line: values taken from the fit on the reduced frequency interval $\nu \in [1/10, 9/10]$. Dotted line: same for $\nu \in [1/5, 4/5]$. The fit interval was discretized at 60 equally spaced points. Note the factor 100 on Π_0 in (b).

agreement with reference [11], and reaches its minimum at the wave number $k_0 = k_F$.

Expressions (13) of the response functions obtained for $g_0 = 0$ are no longer sufficient. We recalculate them starting from general expressions (10, 11) and by doing substitution (27). Proceeding as in footnote 2, we get¹¹

$$\chi_{\rho\rho} = \frac{2 \begin{vmatrix} \Sigma_{11} & \Sigma_{12} & \Sigma_{13} \\ \Sigma_{12} & \Sigma_{22} & \Sigma_{23} \\ \Sigma_{13} & \Sigma_{23} & \Sigma_{33} \end{vmatrix}}{\det M}, \quad \chi_{|\Delta|\rho} = \frac{\begin{vmatrix} \Sigma_{11} & \Sigma_{13} \\ \Sigma_{12} & \Sigma_{23} \end{vmatrix}}{\det M} \quad (28)$$

implying that the χ are taken at (\mathbf{q}, ω) and the Σ_{ij} are taken at $(z = \hbar\omega + i0^+, \mathbf{q})$. Now, the determinant $\det M$ is a linear function of the third column vector of M , so that

$$\det M = \begin{vmatrix} \Sigma_{11} & \Sigma_{12} \\ \Sigma_{12} & \Sigma_{22} \end{vmatrix} - g \begin{vmatrix} \Sigma_{11} & \Sigma_{12} & \Sigma_{13} \\ \Sigma_{12} & \Sigma_{22} & \Sigma_{23} \\ \Sigma_{13} & \Sigma_{23} & \Sigma_{33} \end{vmatrix} \quad (29)$$

By dividing (28) up and down by the first term in the right-hand side of (29), we recover the susceptibilities (13) obtained for $g_0 = 0$, which we note $\chi^{g_0=0}$, and which therefore allow us to write very simply the sought susceptibilities at nonzero $g = g$:

$$\chi_{\rho\rho} = \frac{\chi_{\rho\rho}^{g_0=0}}{1 - \frac{g}{2} \chi_{\rho\rho}^{g_0=0}}, \quad \chi_{|\Delta|\rho} = \frac{\chi_{|\Delta|\rho}^{g_0=0}}{1 - \frac{g}{2} \chi_{\rho\rho}^{g_0=0}} \quad (30)$$

¹¹In Cramer's 3×3 determinant in the numerator of $\chi_{|\Delta|\rho}$, we add to the third column the second column multiplied by g to reduce it to a 2×2 determinant.

The forms (30) are typical of RPA theory [49], to which our linearized time-dependent BCS theory is equivalent up to incoming quantum fluctuations [44]. Such forms (but not the explicit expressions we give) already appear in references [33, 34].

It is therefore easy to resume the study of the response functions in the vicinity of the continuum mode at low-wavenumber, by making q tend to zero at fixed reduced frequency ν as in (15). Since $\chi_{\rho\rho}^{g_0=0}(\mathbf{q}, \omega)$ then changes to second order in q , the denominators in (30) can be approximated by 1 and results (20, 21) are transposed directly. Remarkably, the whole discussion at low q in section 3 is actually independent of the precise value of g_0 and also applies to the case $g_0 = g$, excepted of course for the value of the function $\xi_{\mathbf{k}}$ and the BCS spectrum $\varepsilon_{\mathbf{k}}$, as well as the position k_0 of its minimum.

In this limit $k_F a \rightarrow 0^-$, the equilibrium order parameter tends exponentially to zero, $\Delta/\varepsilon_F \sim 8e^{-2} \exp(-\pi/2k_F|a|)$ according to BCS theory [50]. This greatly simplifies our results. Let us give the coefficient of \tilde{q}^3 and \tilde{q} in the Taylor expansions (20, 21) of the response functions to the dominant order in Δ :¹²

$$\tilde{\chi}_{\rho\rho}^{[3]}(\nu) \underset{\Delta \rightarrow 0}{\sim} \frac{(\zeta - 2)\sqrt{\zeta - 1} + \zeta^2 \operatorname{asin} \frac{1}{\sqrt{\zeta}} - \frac{2(\zeta-1)}{\operatorname{asin} \frac{1}{\sqrt{\zeta}}}}{32i\pi\tilde{\Delta}^3} \quad (31)$$

$$\tilde{\chi}_{|\Delta|\rho}^{[1]}(\nu) \underset{\Delta \rightarrow 0}{\sim} \frac{2}{i\pi} \left[\frac{1 + \zeta \ln \frac{\tilde{\Delta}}{8e}}{\zeta \operatorname{asin} \frac{1}{\sqrt{\zeta}} + \sqrt{\zeta - 1}} - \frac{\frac{1}{2} \ln \frac{\tilde{\Delta}}{8e}}{\operatorname{asin} \frac{1}{\sqrt{\zeta}}} \right] \quad (32)$$

where the energies are this time in units of ε_F ($\tilde{\Delta} = \Delta/\varepsilon_F$) and the wave numbers in units of $k_0 = k_F$ ($\tilde{q} = q/k_F$). At this order, unlike the modulus response, the density response no longer has a pole in its analytic continuation, so it bears no trace of the continuum mode;¹³ moreover, on the open interval $\nu \in]0, 1[$, its real (imaginary) part is a purely increasing (decreasing) function of ν , with no extremum, in contrast with figure 2a1.

5. Conclusion

At zero temperature, in the time-dependent BCS approximation, we calculated the linear response $\chi(\mathbf{q}, \omega)$ of a superfluid gas of spin 1/2 fermions to a Bragg excitation of wave vector \mathbf{q} and angular frequency ω , which is a well known excitation technique in cold atom experiments. For a chemical potential $\mu > 0$, we investigated this response analytically within the low wavenumber limit $q \rightarrow 0$, the deviation of $\hbar\omega$ from the edge 2Δ of the pair-breaking continuum being scaled $\propto q^2$ as the one of the complex energy $z_{\mathbf{q}}$ of the still unobserved continuum mode; although many theoretical works have been devoted to the response functions of a superfluid of fermions, our analytical results on χ in this narrow frequency window $\hbar\omega - 2\Delta = O(q^2)$ are to our knowledge original. In the BEC-BCS crossover where the order parameter Δ is comparable to

μ , the continuum mode causes frequency bumps or dips in the density and modulus response functions of the order parameter. A simple fit of these functions by the sum of a complex resonance and a frequency-affine background makes it possible to estimate the complex energy $z_{\mathbf{q}}$ and the spectral weight of the mode, with a good precision for the modulus response, even when $\operatorname{Re} z_{\mathbf{q}} < 2\Delta$ so that the mode is not below the interval of analytic continuation (in the theory) and measurement (in the experiment). This augurs an upcoming observation.

Acknowledgments

The interest of this study appeared to us during a discussion with Chris Vale at the BEC 2019 conference in Sant Feliu de Guixols. We also thank Hadrien Kurkjian for helpful remarks on calculating the density-density response function, even if he ultimately preferred to collaborate with other people on the subject [51]. Finally, note that the date of submission of this work is much later than that of the corresponding preprint [52]; indeed, we had to withdraw our previous submission to a journal which proved unable to produce a referee report.

References

1. A.L. Gaunt, T.F. Schmidutz, I. Gotlibovych, R.P. Smith, Z. Hadzibabic, Phys. Rev. Lett. **110**, 200406 (2013).
2. B. Mukherjee, Zhenjie Yan, P.B. Patel, Z. Hadzibabic, T. Yefsah, J. Struck, M.W. Zwierlein, Phys. Rev. Lett. **118**, 123401 (2017).
3. K. Hueck, N. Luick, L. Sobirey, J. Siegl, T. Lompe, H. Moritz, Phys. Rev. Lett. **120**, 060402 (2018).
4. P.B. Patel, Zhenjie Yan, B. Mukherjee, R.J. Fletcher, J. Struck, M.W. Zwierlein, arXiv:1909.02555 (2019).
5. K.M. O'Hara, S.L. Hemmer, M.E. Gehm, S.R. Granade, J.E. Thomas, Science **298**, 2179 (2002).
6. T. Bourdel, J. Cubizolles, L. Khaykovich, K.M. Magalhães, S.J.J.M.F. Kokkelmans, G.V. Shlyapnikov, C. Salomon, Phys. Rev. Lett. **91**, 020402 (2003).
7. M. Bartenstein, A. Altmeyer, S. Riedl, S. Jochim, C. Chin, J.H. Denschlag, R. Grimm, Phys. Rev. Lett. **92**, 203201 (2004).
8. M.W. Zwierlein, C.A. Stan, C.H. Schunck, S.M.F. Raupach, A.J. Kerman, W. Ketterle, Phys. Rev. Lett. **92**, 120403 (2004).
9. S. Nascimbène, N. Navon, K.J. Jiang, F. Chevy, C. Salomon, Nature **463**, 1057 (2010).
10. M.J.H. Ku, A.T. Sommer, L.W. Cheuk, M.W. Zwierlein, Science **335**, 563 (2012).
11. V.A. Andrianov, V.N. Popov, Teor. Mat. Fiz. **28**, 341 (1976) [Theor. Math. Phys. **28**, 829 (1976)].
12. H. Kurkjian, S.N. Klimin, J. Tempere, Y. Castin, Phys. Rev. Lett. **122**, 093403 (2019).
13. H. Kurkjian, Y. Castin, to be published in Comptes Rendus Physique (2020) [<https://doi.org/10.5802/crphys.1>].
14. D. Pekker, C.M. Varma, Annual Review of Condensed Matter Physics **6**, 269 (2015).
15. T. Cea, C. Castellani, G. Seibold, L. Benfatto, Phys. Rev. Lett. **115**, 157002 (2015).
16. R. Matsunaga, Y.I. Hamada, K. Makise, Y. Uzawa, H. Terai, Z. Wang, R. Shimano, Phys. Rev. Lett. **111**, 057002 (2013).
17. M.-A. Méasson, Y. Gallais, M. Cazayous, B. Clair, P. Rodière, L. Cario, A. Sacuto, Phys. Rev. B **89**, 060503 (2014).

¹²We use section 4.6.3 of reference [13] for Σ_{12} and the known expansion of elliptic integrals for the rest. Expansions (20, 21) assume that $q\xi \ll 1$ so $\tilde{q} \ll \tilde{\Delta}$, hence the order of the limits $q \rightarrow 0$ then $\Delta \rightarrow 0$.

¹³We must expand $\tilde{\chi}_{\rho\rho}^{[3]}(\zeta)$ to the order $\tilde{\Delta}^{-1}$ to find a pole in its analytic continuation, of residue $\zeta_0^{(0)}(1 + \zeta_0^{(0)} \ln \frac{\tilde{\Delta}}{8e})^2 / (2i\pi^3 \tilde{\Delta} \sqrt{\zeta_0^{(0)} - 1})$ with $\zeta_0^{(0)} \simeq 0.2369 - 0.2956i$.

18. A. Behrle, T. Harrison, J. Kombe, K. Gao, M. Link, J.S. Bernier, C. Kollath, M. Köhl, *Nat. Phys.* **14**, 781 (2018).
19. A.F. Volkov, Ch.M. Kogan, *Zh. Eksp. Teor. Fiz.* **65**, 2038 (1973).
20. E.A. Yuzbashyan, O. Tsypliyat'yev, B.L. Altshuler, *Phys. Rev. Lett.* **96**, 097005 (2006).
21. V. Gurarie, *Phys. Rev. Lett.* **103**, 075301 (2009).
22. I. O. Kulik, O. Entin-Wohlman, R. Orbach, *J. Low Temp. Phys.* **43**, 591 (1981).
23. R.G. Scott, F. Dalfovo, L.P. Pitaevskii, S. Stringari, *Phys. Rev. A* **86**, 053604 (2012).
24. J. Stenger, S. Inouye, A.P. Chikkatur, D.M. Stamper-Kurn, D.E. Pritchard, W. Ketterle, *Phys. Rev. Lett.* **82**, 4569 (1999).
25. J. Steinhauer, R. Ozeri, N. Katz, N. Davidson, *Phys. Rev. Lett.* **88**, 120407 (2002).
26. G. Veeravalli, E. Kuhnle, P. Dyke, C.J. Vale, *Phys. Rev. Lett.* **101**, 250403 (2008).
27. E.D. Kuhnle, S. Hoinka, Hui Hu, P. Dyke, P. Hannaford, C.J. Vale, *New J. Phys.* **13**, 055010 (2011).
28. S. Hoinka, P. Dyke, M.G. Lingham, J.J. Kinnunen, G.M. Bruun, C.J. Vale, *Nature Physics* **13**, 943 (2017).
29. W. Ketterle, "Making, probing and understanding ultracold Fermi gases", section 2, in *Ultra-cold Fermi gases*, Lecture notes of the 2006 Varenna Enrico Fermi physics school, edited by M. Inguscio, W. Ketterle, C. Salomon (SIF, Bologna, 2007).
30. I. Carusotto, Y. Castin, *Phys. Rev. Lett.* **94**, 223202 (2005).
31. M.W. Zwierlein, J.R. Abo-Shaeer, A. Schirotzek, C.H. Schunck, W. Ketterle, *Nature* **435**, 1047 (2005).
32. T. Kostyrko, R. Micnas, *Phys. Rev. B* **46**, 11025 (1992).
33. R. Côté, A. Griffin, *Phys. Rev. B* **48**, 10404 (1993).
34. A. Minguzzi, G. Ferrari, Y. Castin, *Eur. Phys. J. D* **17**, 49 (2001).
35. G.M. Bruun, B.R. Mottelson, *Phys. Rev. Lett.* **87**, 270403 (2001).
36. H.P. Büchler, P. Zoller, W. Zwerger, *Phys. Rev. Lett.* **93**, 080401 (2004).
37. A. Korolyuk, J.J. Kinnunen, P. Törmä, *Phys. Rev. A* **84**, 033623 (2011).
38. Lianyi He, *Annals of Physics* **373**, 470 (2016).
39. S. Giorgini, L.P. Pitaevskii, S. Stringari, *Rev. Mod. Phys.* **80**, 1215 (2008).
40. C. Cohen-Tannoudji, J. Dupont-Roc, G. Grynberg, in *Processus d'interaction entre photons et atomes*, section III.A.2 (InterEditions and Editions du CNRS, Paris, 1988).
41. Y. Castin, "Simple theoretical tools for low dimension Bose gases", Lecture notes of the 2003 Les Houches spring school *Quantum Gases in Low Dimensions*, edited by M. Olshanii, H. Perrin, L. Pricoupenko, *J. Phys. IV France* **116**, 89 (2004).
42. W. Zwerger (editor), *The BCS-BEC Crossover and the Unitary Fermi gas*, Lecture Notes in Physics **836**, section 5.2 (Springer, Berlin, 2011).
43. Y. Castin, "Basic tools for degenerate Fermi gases", section 3.5.1, in *Ultra-cold Fermi gases*, Lecture notes of the 2006 Varenna Enrico Fermi physics school, edited by M. Inguscio, W. Ketterle, C. Salomon (SIF, Bologna, 2007).
44. H. Kurkjian, *Cohérence, brouillage et dynamique de phase dans un condensat de paires de fermions*, PhD thesis, École Normale Supérieure, Paris (2016).
45. H. Kurkjian, Y. Castin, A. Sinatra, *Annalen der Physik (Berlin)* **529**, 1600352 (2017).
46. I.S. Gradshteyn, I.M. Ryzhik, *Tables of integrals, series, and products*, edited by A. Jeffrey, 5th edition (Academic Press, San Diego, 1994).
47. M. Marini, F. Pistolesi, G.C. Strinati, *Eur. Phys. J. B* **1**, 151 (1998).
48. P. Nozières, *Le problème à N corps : Propriétés générales des gaz de fermions*, appendix C (Dunod, Paris, 1963).
49. P.W. Anderson, *Phys. Rev.* **112**, 1900 (1958).
50. M. Randeria, in *Bose-Einstein Condensation*, chapter 15, p.373, edited by A. Griffin, D.W. Snoke, S. Stringari (Cambridge University Press, Cambridge, 1995).
51. H. Kurkjian, J. Tempere, S.N. Klimin, arXiv:1912.08898 (version 1, 18 December 2019) [<https://arxiv.org/abs/1912.08898>].
52. Y. Castin, hal-02377014 (version 1, 22 November 2019) [<https://hal.archives-ouvertes.fr/hal-02377014>].

Spectroscopie de Bragg et mode du continuum de paire brisée dans un gaz de fermions superfluide

Yvan Castin

Laboratoire Kastler Brossel, ENS-Université PSL, CNRS, Université de la Sorbonne et Collège de France, 24 rue Lhomond, 75231 Paris, France

Résumé

Les gaz superfluides de fermions de spin $1/2$, condensés par paires, sont censés présenter à vecteur d'onde non nul un mode d'excitation collectif encore inobservé dans leur continuum de paire brisée. À l'aide de la théorie BCS à température nulle et dans la limite des grandes longueurs d'onde, nous prédisons que ce mode est quantitativement observable (en fréquence, largeur et poids spectral) dans la réponse d'un gaz d'atomes froids à une excitation de Bragg par laser, si l'on mesure la perturbation induite sur le module du paramètre d'ordre plutôt que sur la densité.

Mots-clés : gaz de fermions ; condensat de paires ; modes collectifs ; facteur de structure dynamique ; excitation par brisure de paire ; atomes froids ; théorie BCS

1. Introduction

On sait désormais préparer en laboratoire un gaz d'atomes froids fermioniques de spin $1/2$ piégé dans une boîte de potentiel à fond plat [1], donc spatialement homogène [2, 3, 4]. Ces atomes subissent une interaction attractive dans l'onde s entre états de spins opposés \uparrow et \downarrow de type van der Waals, de portée b négligeable et de longueur de diffusion a ajustable par résonance de Feshbach magnétique [5, 6, 7, 8, 9, 10]. On peut s'arranger pour le gaz soit non polarisé, c'est-à-dire qu'il comporte le même nombre de particules dans \uparrow et \downarrow . Aux très basses températures atteintes expérimentalement, on peut alors supposer, en première approximation, que tous les fermions s'assemblent par paires liées $\uparrow\downarrow$, équivalentes pour notre système neutre aux paires de Cooper des supraconducteurs, ces paires formant de plus un condensat et un superfluide, comme le prédit la théorie BCS.

À la limite thermodynamique, à vecteur d'onde d'excitation \mathbf{q} fixé, le spectre d'excitation du système à température nulle comporte un continuum de paire brisée, de la forme $\varepsilon_{\mathbf{q}/2+\mathbf{k}} + \varepsilon_{\mathbf{q}/2-\mathbf{k}}$, où $k \mapsto \varepsilon_{\mathbf{k}}$ est la relation de dispersion d'un fragment de paire brisée et le vecteur d'onde relatif \mathbf{k} des deux fragments décrit tout l'espace de Fourier tridimensionnel. Nous nous limitons ici au cas habituel, où les paires liées sont de rayon suffisamment grand (par rapport à la distance moyenne entre fermions) pour présenter un caractère de boson composite affirmé, c'est-à-dire que $k \mapsto \varepsilon_{\mathbf{k}}$ atteint son minimum en un nombre d'onde $k_0 > 0$. Si $0 < q < 2k_0$, la densité d'états du continuum de paire brisée présente alors, sur l'axe des énergies réelles, deux points de singularité $\varepsilon_1(q) < \varepsilon_2(q)$, et même un troisième $\varepsilon_3(q) > \varepsilon_2(q)$ pour q/k_0 suffisamment petit. Par prolongement analytique de l'équation aux énergies propres à travers l'intervalle $[\varepsilon_1(q), \varepsilon_2(q)]$, on trouve que le continuum abrite un mode d'excitation collectif par brisure de paire, d'énergie complexe z_q s'écartant quadratiquement en q de sa limite 2Δ en $q = 0$, où Δ est le paramètre d'ordre du condensat de paires, pris réel positif à l'équilibre. Ceci est prédit aussi bien dans la limite de couplage faible $\Delta \ll \varepsilon_F$ [11], où ε_F est l'énergie de Fermi du gaz, que dans la limite de couplage fort $\Delta \approx \varepsilon_F$ [12, 13]; d'après la théorie BCS dépendant du temps utilisée, il suffit que le potentiel chimique du gaz soit positif, $\mu > 0$, afin que $k_0 > 0$. Notons que le mode du continuum est souvent appelé mode d'amplitude, ou même mode de Higgs [14] mais l'analogie avec la physique des hautes énergies n'est qu'approximative [15] et la relation de dispersion donnée dans la référence [14] est incorrecte. Notons encore que d'autres modes du continuum peuvent être obtenus par prolongement analytique à travers les intervalles $[\varepsilon_2(q), +\infty[$, $[\varepsilon_2(q), \varepsilon_3(q)]$ et $[\varepsilon_3(q), +\infty[$ (si $\varepsilon_3(q)$ existe), et que le régime $k_0 = 0$ ($\mu < 0$ d'après la théorie BCS) admet lui aussi des modes du continuum par prolongement à travers $[\varepsilon_1(q), +\infty[$ (il n'y a dans ce cas qu'un seul point de singularité), même dans la limite $\mu/\varepsilon_F \rightarrow -\infty$ où les paires liées se réduisent à des bosons élémentaires [13].

Ces modes exotiques ont en général une énergie complexe $z_{\mathbf{q}}$ de partie réelle éloignée de leur intervalle de prolongement analytique à faible q et de partie imaginaire élevée (en valeur absolue) à grand q , ce qui les rend difficilement observables selon les critères de la référence [12]; aussi les ignorons-nous ici.

La question est de savoir comment mettre en évidence la branche du continuum ordinaire. La question est d'importance car la branche est pour l'instant inobservée : les oscillations du paramètre d'ordre à la pulsation $2\Delta/\hbar$ détectées dans un supraconducteur [16, 17] ou dans un gaz d'atomes froids fermioniques [18] après une excitation spatialement homogène ont une dépendance temporelle amortie en loi de puissance $\sin(2\Delta t/\hbar + \phi)/t^\alpha$ plutôt que purement sinusoïdale [19, 20, 21], et ne résultent pas d'un mode discret du superfluide mais simplement d'un effet générique du bord 2Δ du continuum de paire brisée [22, 23]; c'est que, à $q = 0$, comme le prédit la théorie, l'équation aux énergies propres admet comme racine seulement l'énergie nulle, point de départ de la branche acoustique d'Anderson-Bogolioubov, et surtout pas l'énergie 2Δ , même après prolongement analytique au demi-plan inférieur [12]. En revanche, sous certaines conditions, les fonctions de réponse linéaire (ou susceptibilités) χ du système à une excitation de pulsation ω et de vecteur d'onde \mathbf{q} *non nul* doivent présenter, en fonction de la pulsation, un pic centré près de $\omega = \text{Re } z_{\mathbf{q}}/\hbar$ et de mi-largeur approximative $\text{Im } z_{\mathbf{q}}/\hbar$, au-dessus du fond large de réponse du continuum, ce qui est caractéristique d'une contribution modale. C'est bien le cas de la fonction de réponse module-module $\chi_{|\Delta||\Delta|}(\mathbf{q}, \omega)$, où l'on regarde l'effet sur le module du paramètre d'ordre d'une excitation en module du paramètre d'ordre *via* une modulation spatio-temporelle de la longueur de diffusion [12]; une telle excitation est cependant difficile à mettre en œuvre. En revanche, l'excitation en densité d'un gaz d'atomes froids par une impulsion de Bragg, au moyen de deux faisceaux laser de différence de pulsation ω et de différence de vecteur d'onde \mathbf{q} , est une technique bien rodée en laboratoire, qui a donné naissance à une véritable spectroscopie de Bragg [24, 25, 26, 27, 28]. Selon que l'on mesure la variation de la densité totale ρ du gaz (par absorption ou dispersion d'un faisceau laser [29]) ou du module $|\Delta|$ de son paramètre d'ordre (par interférométrie [30] ou bosonisation des paires liées $\uparrow\downarrow$ par rampe de Feshbach rapide [29, 31]) à la suite de l'impulsion de Bragg, on accède à la fonction de réponse $\chi_{\rho\rho}(\mathbf{q}, \omega)$ ou $\chi_{|\Delta|\rho}(\mathbf{q}, \omega)$. D'un côté, la susceptibilité densité-densité d'un gaz de fermions superfluide a fait l'objet de nombreuses études théoriques [32, 33, 34, 35, 36, 37, 38] et expérimentales [26, 27, 28], mais sans que la moindre attention ait été prêtée au mode du continuum; de l'autre, la susceptibilité module-densité a été rarement calculée, et à notre connaissance jamais mesurée avec des atomes froids. L'objectif du présent travail est de combler ces deux lacunes, du moins sur le plan théorique.

2. Fonctions de réponse dans la théorie BCS

Notre gaz de fermions condensé par paires, initialement préparé à l'équilibre à température nulle, est soumis à une excitation en densité, c'est-à-dire à une perturbation de son hamiltonien de la forme

$$\hat{W}(t) = \int d^3r U(\mathbf{r}, t) \sum_{\sigma=\uparrow, \downarrow} \hat{\psi}_{\sigma}^{\dagger}(\mathbf{r}) \hat{\psi}_{\sigma}(\mathbf{r}) \quad (1)$$

où le potentiel réel $U(\mathbf{r}, t)$ dépend du temps et de l'espace, et les opérateurs de champ $\hat{\psi}_{\sigma}(\mathbf{r})$ et $\hat{\psi}_{\sigma}^{\dagger}(\mathbf{r})$, écrits en point de vue de Schrödinger, annihilent et créent un fermion dans l'état de spin σ au point \mathbf{r} et obéissent aux relations d'anticommutation fermioniques habituelles. Lorsque $U(\mathbf{r}, t)$ est suffisamment faible ou est appliqué pendant un temps suffisamment court, la réponse du système sur une observable \hat{O} est linéaire, c'est-à-dire que l'écart $\delta\langle \hat{O} \rangle$ de la valeur moyenne de \hat{O} à sa valeur à l'équilibre est une fonctionnelle linéaire de U , décrite par une susceptibilité $\chi_{O\rho}$. Nous nous limitons ici à deux observables, la densité totale ρ et le module $|\Delta|$ du paramètre d'ordre complexe Δ défini dans la référence [39] :

$$\delta\rho(\mathbf{r}, t) = \int d^3r' \int dt' \chi_{\rho\rho}(\mathbf{r} - \mathbf{r}', t - t') U(\mathbf{r}', t') \quad (2)$$

$$\delta|\Delta|(\mathbf{r}, t) = \int d^3r' \int dt' \chi_{|\Delta|\rho}(\mathbf{r} - \mathbf{r}', t - t') U(\mathbf{r}', t') \quad (3)$$

Comme l'état initial du système est stationnaire et spatialement homogène, les susceptibilités ne dépendent que de la différence des temps et des positions; elles sont aussi causales donc retardées (nulles si $t < t'$). En pratique, l'excitation de Bragg mentionnée dans l'introduction correspond au potentiel de déplacement lumineux $U(\mathbf{r}, t) = U_0 e^{i(\mathbf{q}\cdot\mathbf{r} - \omega t)} + \text{c.c.}$,

où l'amplitude U_0 est complexe. Elle donne ainsi accès, comme le montre le report de $U(\mathbf{r}, t)$ dans (2) et (3), à la transformée de Fourier spatio-temporelle des susceptibilités :

$$\chi(\mathbf{q}, \omega) \equiv \int d^3r \int dt e^{i[(\omega+i\eta)t-\mathbf{q}\cdot\mathbf{r}]} \chi(\mathbf{r}, t) \quad (\eta \rightarrow 0^+) \quad (4)$$

Le facteur $e^{-\eta t}$ assurant la convergence de l'intégrale sur le temps est habituel des fonctions de Green retardées [40].

Pour obtenir une expression approchée des susceptibilités à l'aide de la théorie variationnelle BCS dépendant du temps, il est commode d'utiliser un modèle sur réseau cubique de pas b dans le volume de quantification $[0, L]^3$ avec des conditions aux limites périodiques, en faisant tendre b vers zéro et L vers l'infini à la fin des calculs. Les fermions de masse m ont la relation de dispersion de l'espace libre $\mathbf{k} \mapsto E_{\mathbf{k}} = \hbar^2 k^2 / 2m$ sur la première zone de Brillouin $\mathcal{D} = [-\pi/b, \pi/b]^3$, et on l'étend par périodicité au-delà. Ils interagissent par le potentiel binaire de contact $V(\mathbf{r}_i, \mathbf{r}_j) = g_0 \delta_{\mathbf{r}_i, \mathbf{r}_j} / b^3$, avec une constante de couplage nue g_0 ajustée pour reproduire la longueur de diffusion a de l'expérience [41, 42] : $1/g_0 = 1/g - \int_{\mathcal{D}} \frac{d^3k}{(2\pi)^3} \frac{1}{2E_{\mathbf{k}}}$ où $g = 4\pi\hbar^2 a/m$ est la constante de couplage effective. L'état fondamental grand canonique du gaz de potentiel chimique μ (de signe quelconque dans cette section) est approximé par l'habituel état $|\psi_0\rangle$, état cohérent de paires de fermions brisant la symétrie $U(1)$: c'est le vide des opérateurs d'annihilation fermioniques $\hat{\gamma}_{\mathbf{k}\sigma}$ de quasi-particules définis plus bas. L'ansatz variationnel BCS s'étend au cas dépendant du temps [43], et le paramètre d'ordre vaut simplement

$$\Delta(\mathbf{r}, t) = g_0 \langle \psi(t) | \hat{\psi}_{\downarrow}(\mathbf{r}) \hat{\psi}_{\uparrow}(\mathbf{r}) | \psi(t) \rangle \quad (5)$$

Pour obtenir $\chi(\mathbf{q}, \omega)$, le plus simple est de considérer une excitation percussionnelle en temps et de vecteur d'onde non nul bien défini, $U(\mathbf{r}, t) = \hbar\epsilon \cos(\mathbf{q} \cdot \mathbf{r}) \delta(t)$, avec $\epsilon \rightarrow 0$. La théorie des perturbations dépendant du temps donne le vecteur d'état juste après la perturbation au premier ordre en ϵ :

$$|\psi(0^+)\rangle \simeq \left[1 - i\epsilon \int d^3r \cos(\mathbf{q} \cdot \mathbf{r}) \sum_{\sigma} \hat{\psi}_{\sigma}^{\dagger}(\mathbf{r}) \hat{\psi}_{\sigma}(\mathbf{r}) \right] |\psi(0^-)\rangle \simeq \left[1 + \frac{i\epsilon}{2} \sum_{\mathbf{k}} (U_+ V_- + U_- V_+) (\hat{\gamma}_{\uparrow}^{\dagger} \hat{\gamma}_{\downarrow}^{\dagger} + \mathbf{q} \leftrightarrow -\mathbf{q}) \right] |\psi_0\rangle \quad (6)$$

Ici, les indices $+$ et $-$ font référence aux nombres d'onde $\mathbf{q}/2 + \mathbf{k}$ et $\mathbf{q}/2 - \mathbf{k}$, les coefficients $U_{\mathbf{k}} = [\frac{1}{2}(1 + \xi_{\mathbf{k}}/\epsilon_{\mathbf{k}})]^{1/2}$ et $V_{\mathbf{k}} = [\frac{1}{2}(1 - \xi_{\mathbf{k}}/\epsilon_{\mathbf{k}})]^{1/2}$ sont les amplitudes des modes de quasi-particules sur les particules et les trous, et $\mathbf{k} \mapsto \epsilon_{\mathbf{k}} = (\xi_{\mathbf{k}}^2 + \Delta^2)^{1/2}$ est leur relation de dispersion BCS, avec $\xi_{\mathbf{k}} = E_{\mathbf{k}} - \mu + g_0\rho/2$.¹ L'évolution de la densité et du paramètre d'ordre pour un très faible état cohérent de paires de *quasi-particules* comme (6) (qui reste bien entendu un fort état cohérent de paires d'atomes fermioniques) a été calculée avec la théorie BCS dépendant du temps [44, 45]; en particulierisant les expressions générales de la référence [13], nous trouvons pour $t > 0$:

$$\begin{pmatrix} 2i\Delta(\delta\theta)_{\mathbf{q}}(t) \\ 2(\delta|\Delta|)_{\mathbf{q}}(t) \\ (\delta\rho)_{\mathbf{q}}(t) \end{pmatrix} = (-i\epsilon) \int_{i\eta+\infty}^{i\eta-\infty} \frac{dz}{2i\pi} \frac{e^{-izt/\hbar}}{M(z, \mathbf{q})} \begin{pmatrix} \Sigma_{13}(z, \mathbf{q}) \\ \Sigma_{23}(z, \mathbf{q}) \\ \Sigma_{33}(z, \mathbf{q}) \end{pmatrix} \quad (7)$$

où $\theta(\mathbf{r}, t) = \arg \Delta(\mathbf{r}, t)$ est la phase du paramètre d'ordre et $X_{\mathbf{q}}$ est le coefficient de Fourier de $X(\mathbf{r})$ sur l'onde plane $e^{i\mathbf{q}\cdot\mathbf{r}}$. Nous avons dû introduire la matrice 3×3 , fonction de l'énergie complexe z dans le demi-plan supérieur et du nombre d'onde,

$$M(z, \mathbf{q}) = \begin{pmatrix} \Sigma_{11}(z, \mathbf{q}) & \Sigma_{12}(z, \mathbf{q}) & -g_0 \Sigma_{13}(z, \mathbf{q}) \\ \Sigma_{12}(z, \mathbf{q}) & \Sigma_{22}(z, \mathbf{q}) & -g_0 \Sigma_{23}(z, \mathbf{q}) \\ \Sigma_{13}(z, \mathbf{q}) & \Sigma_{23}(z, \mathbf{q}) & 1 - g_0 \Sigma_{33}(z, \mathbf{q}) \end{pmatrix} \quad (8)$$

décrite par les six coefficients indépendants :

$$\begin{aligned} \Sigma_{11}(z, \mathbf{q}) &= \int_{\mathcal{D}} \frac{d^3k}{(2\pi)^3} \left(\frac{(\epsilon_+ + \epsilon_-)(\epsilon_+ \epsilon_- + \xi_+ \xi_- + \Delta^2)}{2\epsilon_+ \epsilon_- [z^2 - (\epsilon_+ + \epsilon_-)^2]} + \frac{1}{2\epsilon_{\mathbf{k}}} \right) & \Sigma_{12}(z, \mathbf{q}) &= \int_{\mathcal{D}} \frac{d^3k}{(2\pi)^3} \frac{z(\xi_+ \epsilon_- + \xi_- \epsilon_+)}{2\epsilon_+ \epsilon_- [z^2 - (\epsilon_+ + \epsilon_-)^2]} \\ \Sigma_{22}(z, \mathbf{q}) &= \int_{\mathcal{D}} \frac{d^3k}{(2\pi)^3} \left(\frac{(\epsilon_+ + \epsilon_-)(\epsilon_+ \epsilon_- + \xi_+ \xi_- - \Delta^2)}{2\epsilon_+ \epsilon_- [z^2 - (\epsilon_+ + \epsilon_-)^2]} + \frac{1}{2\epsilon_{\mathbf{k}}} \right) & \Sigma_{13}(z, \mathbf{q}) &= \int_{\mathcal{D}} \frac{d^3k}{(2\pi)^3} \frac{z\Delta(\epsilon_+ + \epsilon_-)}{2\epsilon_+ \epsilon_- [z^2 - (\epsilon_+ + \epsilon_-)^2]} \\ \Sigma_{33}(z, \mathbf{q}) &= \int_{\mathcal{D}} \frac{d^3k}{(2\pi)^3} \frac{(\epsilon_+ + \epsilon_-)(\epsilon_+ \epsilon_- - \xi_+ \xi_- + \Delta^2)}{2\epsilon_+ \epsilon_- [z^2 - (\epsilon_+ + \epsilon_-)^2]} & \Sigma_{23}(z, \mathbf{q}) &= \int_{\mathcal{D}} \frac{d^3k}{(2\pi)^3} \frac{\Delta(\epsilon_+ + \epsilon_-)(\xi_+ + \xi_-)}{2\epsilon_+ \epsilon_- [z^2 - (\epsilon_+ + \epsilon_-)^2]} \end{aligned} \quad (9)$$

1. Il a fallu utiliser les développements modaux des opérateurs de champ, $\hat{\psi}_{\uparrow}(\mathbf{r}) = L^{-3/2} \sum_{\mathbf{k}} (\hat{\gamma}_{\mathbf{k}\uparrow} U_{\mathbf{k}} - \hat{\gamma}_{-\mathbf{k}\downarrow}^{\dagger} V_{\mathbf{k}}) e^{i\mathbf{k}\cdot\mathbf{r}}$ et $\hat{\psi}_{\downarrow}(\mathbf{r}) = L^{-3/2} \sum_{\mathbf{k}} (\hat{\gamma}_{\mathbf{k}\downarrow} U_{\mathbf{k}} + \hat{\gamma}_{-\mathbf{k}\uparrow}^{\dagger} V_{\mathbf{k}}) e^{i\mathbf{k}\cdot\mathbf{r}}$.

En spécialisant (2) et (3) à l'excitation percussive considérée, il vient aisément pour notre modèle sur réseau :

$$\chi_{\rho\rho}(\mathbf{q}, \omega) = (0, 0, 1) \cdot \frac{2}{M(z, \mathbf{q})} \left. \begin{pmatrix} \Sigma_{13}(z, \mathbf{q}) \\ \Sigma_{23}(z, \mathbf{q}) \\ \Sigma_{33}(z, \mathbf{q}) \end{pmatrix} \right|_{z=\hbar\omega+i\eta} \quad (10)$$

$$\chi_{|\Delta\rho}(\mathbf{q}, \omega) = (0, 1, 0) \cdot \frac{1}{M(z, \mathbf{q})} \left. \begin{pmatrix} \Sigma_{13}(z, \mathbf{q}) \\ \Sigma_{23}(z, \mathbf{q}) \\ \Sigma_{33}(z, \mathbf{q}) \end{pmatrix} \right|_{z=\hbar\omega+i\eta} \quad (11)$$

ce que nous exploiterons pour un espace continu dans la suite.

3. Dans le raccordement CBE-BCS

Dans l'espace à un paramètre mesurant la force des interactions, on appelle raccordement CBE-BCS la zone intermédiaire entre la limite d'attraction forte $k_F a \rightarrow 0^+$, où l'état fondamental du système est un condensat de Bose-Einstein (CBE) de dimères $\uparrow\downarrow$ de taille a petite devant la distance moyenne entre particules, et la limite d'attraction faible $k_F a \rightarrow 0^-$, où l'état fondamental est un état BCS de paires liées $\uparrow\downarrow$ de taille $\xi \approx \hbar^2 k_F / m\Delta$ bien plus grande que la distance interatomique. Ici $k_F = (3\pi^2\rho)^{1/3}$ est le nombre d'onde de Fermi du gaz. Le raccordement correspond donc au régime $1 \lesssim k_F |a|$, qui est aussi celui dans lequel les gaz d'atomes froids fermioniques superfluides sont préparés en pratique, pour éviter de fortes pertes de particules par collision à trois corps dans la limite CBE et des températures critiques trop faibles dans la limite BCS.

Or, notre modèle sur réseau doit toujours avoir un pas $b \ll 1/k_F$ pour bien reproduire la physique de l'espace continu. On a donc aussi $b \ll |a|$, et l'on est conduit à faire tendre b vers zéro à longueur de diffusion fixée. On remplace alors la première zone de Brillouin \mathcal{D} par l'espace de Fourier tout entier \mathbb{R}^3 . Dans la définition des Σ_{ij} , cela ne conduit à aucune divergence ultraviolette; cela en déclenche une dans l'expression de $1/g_0$, ce qui fait tendre g_0 vers zéro dans la matrice (8) :

$$g_0 \rightarrow 0 \quad (12)$$

La relation de dispersion des excitations BCS se réduit à $\varepsilon_k = [(E_k - \mu)^2 + \Delta^2]^{1/2}$; elle admet un minimum Δ en un nombre d'onde $k_0 > 0$, et le gaz admet une branche d'excitation collective du continuum de départ 2Δ [12, 13], lorsque le potentiel chimique μ est > 0 , ce que nous supposons désormais. De même, les expressions (10) et (11) des susceptibilités se simplifient comme suit :

$$\chi_{\rho\rho} = \frac{2 \begin{vmatrix} \Sigma_{11} & \Sigma_{12} & \Sigma_{13} \\ \Sigma_{12} & \Sigma_{22} & \Sigma_{23} \\ \Sigma_{13} & \Sigma_{23} & \Sigma_{33} \end{vmatrix}}{\begin{vmatrix} \Sigma_{11} & \Sigma_{12} \\ \Sigma_{12} & \Sigma_{22} \end{vmatrix}}, \quad \chi_{|\Delta\rho} = \frac{\begin{vmatrix} \Sigma_{11} & \Sigma_{13} \\ \Sigma_{12} & \Sigma_{23} \end{vmatrix}}{\begin{vmatrix} \Sigma_{11} & \Sigma_{12} \\ \Sigma_{12} & \Sigma_{22} \end{vmatrix}} \quad (13)$$

où $|A|$ est le déterminant de la matrice A , et où l'on a sous-entendu la dépendance des χ en (\mathbf{q}, ω) et des Σ_{ij} en (z, \mathbf{q}) pour alléger.² La valeur de $\chi_{\rho\rho}$ est en accord avec l'équation (118) de la référence [38].

Cherchons la trace éventuelle du mode du continuum dans les fonctions de réponse dans la limite des faibles nombres d'onde, $q \rightarrow 0$, où la partie imaginaire de l'énergie complexe $z_{\mathbf{q}}$ est la plus faible. C'est là que le mode a *a priori* le plus de chance de bien se détacher du fond de réponse large du continuum sous forme d'un pic étroit en pulsation ω . Dans cette limite, sous la condition $q \ll k_0 \min(\Delta/\mu, (\mu/\Delta)^{1/2})$ [13], la branche du continuum a une dispersion quadratique en q :

$$z_{\mathbf{q}} \underset{q \rightarrow 0}{=} 2\Delta + \zeta_0 \frac{\hbar^2 q^2}{2m} \frac{\mu}{\Delta} + O(q^3) \quad (14)$$

2. En effet, le vecteur $\mathbf{x} = M^{-1}\mathbf{s}$ est solution du système $M\mathbf{x} = \mathbf{s}$, que l'on résout par la méthode de Cramer, avec \mathbf{s} le vecteur colonne de (10) et (11), pour obtenir ses coordonnés x_2 et x_3 .

Le coefficient ζ_0 est solution dans le demi-plan complexe inférieur d'une équation transcendante donnée dans la référence [12] (généralisant celle de [11] au raccordement CBE-BCS). Il est représenté en fonction de la force des interactions sur la figure 4, et son comportement aux limites est donné dans [12]. On retiendra ici que sa partie réelle est positive pour $\Delta/\mu < 1,21$, et négative sinon. Calculons donc les fonctions de réponse sur l'axe réel des pulsations près du mode du continuum, en imposant la même loi d'échelle en nombre d'onde que dans (14) :

$$\hbar\omega \equiv 2\Delta + v \frac{\hbar^2 q^2}{2m} \frac{\mu}{\Delta} \quad (v \in \mathbb{R}) \quad (15)$$

c'est-à-dire en faisant tendre q vers zéro à fréquence réduite v quelconque fixée. Ceci revient à observer l'axe des pulsations autour de $2\Delta/\hbar$ sous un grossissement divergent $\propto q^{-2}$. Dans la suite, il sera commode de poser

$$\zeta = v + i\eta \quad (\eta \rightarrow 0^+) \quad (16)$$

par analogie avec $z = \hbar\omega + i\eta$ dans (10) et (11). Comme les points de singularité $\varepsilon_1(q)$ et $\varepsilon_2(q)$ de la densité d'états du continuum de paire brisée à \mathbf{q} fixé mentionnés dans l'introduction vérifient $\varepsilon_1(q) = 2\Delta$ et $\varepsilon_2(q) = 2\Delta + (\mu/\Delta)\hbar^2 q^2/2m + O(q^4)$ [12], on s'attend dans la limite $q \rightarrow 0$ à ce que les fonctions de réponse admettent des singularités en fréquence en $v = 0$ et $v = 1$, et qu'il faille effectuer le prolongement analytique de l'équation aux énergies propres à $\text{Im } \zeta < 0$ en passant entre les points $v = 0$ (soit $\hbar\omega = \varepsilon_1(q)$) et $v = 1$ (soit $\hbar\omega = \varepsilon_2(q) + O(q^4)$) pour trouver le mode du continuum. Le fait que ces singularités subsistent à v fini lorsque $q \rightarrow 0$ permet d'éliminer tout de suite un faux espoir : même si sa largeur en énergie tend vers zéro comme q^2 , le mode du continuum ne peut conduire à un pic très étroit en valeur relative dans les fonctions de réponse en fréquence, car la contribution « large » du continuum présente une structure variant à la même échelle $\propto q^2$. En revanche, le troisième point de singularité $\varepsilon_3(q) = (\mu^2 + \Delta^2)^{1/2} + O(q^2)$ est non pertinent car rejeté à $v = +\infty$ par le changement d'échelle (15). Pour le calcul de χ proprement dit, reprenons la méthode de développement des quantités Σ_{ij} en puissances de q à v fixée de la référence [12] : il ne suffit pas de développer naïvement les intégrales sur \mathbf{k} sous le signe somme en puissances de q , mais il faut traiter à part la couche de vecteurs d'onde \mathbf{k} d'épaisseur $\propto q$ autour de la sphère $k = k_0$, qui donne en général la contribution dominante car les dénominateurs d'énergie y prennent des valeurs extrêmement faibles, de l'ordre de q^2 .³ Les formes (13) conduiraient à des calculs assez longs car, à l'ordre dominant en q , la première et la dernière colonne des déterminants aux numérateurs sont équivalentes ($\Sigma_{i3} \sim \Sigma_{1i}$, $1 \leq i \leq 3$), ce qui donne un résultat nul et oblige à aller chercher les ordres sous-dominants des Σ_{ij} . On peut heureusement effectuer d'astucieuses combinaisons linéaires sans changer la valeur de ces déterminants, en soustrayant la première colonne de la dernière puis, seulement dans χ_{pp} , en soustrayant la première ligne de la troisième, si bien que :

$$\chi_{pp} = \frac{2 \begin{vmatrix} \Sigma_{11} & \Sigma_{12} & \delta\Sigma_{13} \\ \Sigma_{12} & \Sigma_{22} & \delta\Sigma_{23} \\ \delta\Sigma_{13} & \delta\Sigma_{23} & \delta\Sigma_{33} \end{vmatrix}}{\begin{vmatrix} \Sigma_{11} & \Sigma_{12} \\ \Sigma_{12} & \Sigma_{22} \end{vmatrix}}, \quad \chi_{|\Delta|p} = \frac{\begin{vmatrix} \Sigma_{11} & \delta\Sigma_{13} \\ \Sigma_{12} & \delta\Sigma_{23} \end{vmatrix}}{\begin{vmatrix} \Sigma_{11} & \Sigma_{12} \\ \Sigma_{12} & \Sigma_{22} \end{vmatrix}} \quad (17)$$

avec

$$\delta\Sigma_{13} \equiv \Sigma_{13} - \Sigma_{11}, \quad \delta\Sigma_{23} \equiv \Sigma_{23} - \Sigma_{12}, \quad \delta\Sigma_{33} \equiv \Sigma_{33} + \Sigma_{11} - 2\Sigma_{13} \quad (18)$$

On développe alors ces $\delta\Sigma$ après recalcul de leur intégrande par combinaison linéaire des intégrandes des Σ_{ij} . Il suffit

3. Après passage en coordonnées sphériques d'axe \mathbf{q} , on sépare le domaine d'intégration sur le module k en les deux composantes $I = [k_0 - Aq, k_0 + Aq]$ et $J = \mathbb{R}^+ \setminus I$, où $A \gg 1$ est fixé. Sur J , on développe directement l'intégrande en puissances de q à k fixé. Sur I , on effectue le changement de variable $k = k_0 + qK$ puis on développe l'intégrande en puissances de q à K fixé. On regroupe les contributions de I et J ordre par ordre en q , puis on fait tendre A vers $+\infty$ dans les coefficients des monômes q^n . Dans les résultats (19), la contribution de J est négligeable sauf dans $\delta\Sigma_{23}^{[2]}$ et $\delta\Sigma_{33}^{[2,3]}$.

ici de connaître l'ordre dominant des $\delta\Sigma$ et celui des Σ_{ij} restants, sauf pour $\delta\Sigma_{33}$ où l'ordre sous-dominant est requis :

$$\begin{aligned}\check{\Sigma}_{11}^{[-1]} &= \frac{\check{\Delta}}{8i\pi} \operatorname{asin} \frac{1}{\sqrt{\zeta}}, & \check{\Sigma}_{22}^{[1]} &= \frac{\zeta \operatorname{asin} \frac{1}{\sqrt{\zeta}} + \sqrt{\zeta-1}}{16i\pi\check{\Delta}}, & \check{\Sigma}_{12}^{[0]} &= \frac{\sqrt{e^{2\tau}-1}}{-(2\pi)^2} \left[\operatorname{Re} \Pi(e^\tau, ie^\tau) - \Pi(-e^\tau, ie^\tau) + \frac{K(ie^\tau)}{\operatorname{sh} \tau} \right], \\ \delta\check{\Sigma}_{13}^{[1]} &= \frac{i\sqrt{\zeta-1}}{16\pi\check{\Delta}}, & \delta\check{\Sigma}_{23}^{[2]} &= \frac{(2/3-\zeta)}{2\check{\Delta}^2} \check{\Sigma}_{12}^{[0]} - \frac{\sqrt{1-e^{-2\tau}}}{24\pi^2} [E(ie^\tau) - e^\tau \operatorname{ch} \tau K(ie^\tau)], \\ \delta\check{\Sigma}_{33}^{[2]} &= \frac{\sqrt{1-e^{-2\tau}}}{24\pi^2\check{\Delta}} [E(ie^\tau) + \operatorname{coth} \tau K(ie^\tau)], & \delta\check{\Sigma}_{33}^{[3]} &= \frac{(\zeta-2)\sqrt{\zeta-1} + \zeta^2 \operatorname{asin} \frac{1}{\sqrt{\zeta}}}{64i\pi\check{\Delta}^3}\end{aligned}\quad (19)$$

où $\check{\Sigma}_{ij}^{[n]}$ ($\delta\check{\Sigma}_{ij}^{[n]}$) est le coefficient de \check{q}^n dans le développement limité de $\check{\Sigma}_{ij}$ ($\delta\check{\Sigma}_{ij}$). Les trois premières identités figurent déjà dans [12, 13]. L'accent tchèque signale l'adimensionnement des énergies par μ ($\check{\Delta} = \Delta/\mu$), des nombres d'onde par k_0 ($\check{q} = q/k_0$) et des Σ_{ij} par k_0^3/μ , avec ici $k_0 = (2m\mu)^{1/2}/\hbar$. On a utilisé les expressions de plusieurs intégrales sur k en termes d'intégrales elliptiques complètes K , E et Π de première, seconde et troisième espèce [46], en particulier celles données dans la référence [47], après avoir posé $\operatorname{sh} \tau = 1/\check{\Delta}$ pour abrégier.⁴ Nous obtenons finalement le comportement des fonctions de réponse à faible q :

$$\check{\chi}_{\rho\rho} \stackrel{\nu \text{ fixé}}{q \rightarrow 0} \equiv 2\check{q}^2 \delta\check{\Sigma}_{33}^{[2]} + 2\check{q}^3 \left[\delta\check{\Sigma}_{33}^{[3]} + \frac{2\check{\Sigma}_{12}^{[0]} \delta\check{\Sigma}_{13}^{[1]} \delta\check{\Sigma}_{23}^{[2]} - \check{\Sigma}_{22}^{[1]} \delta\check{\Sigma}_{13}^{[1]2} - \check{\Sigma}_{11}^{[-1]} \delta\check{\Sigma}_{23}^{[2]2}}{\check{\Sigma}_{11}^{[-1]} \check{\Sigma}_{22}^{[1]} - \check{\Sigma}_{12}^{[0]2}} \right] + O(\check{q}^4) \quad (20)$$

$$\chi_{|\Delta\rho} \stackrel{\nu \text{ fixé}}{q \rightarrow 0} \equiv \check{q} \frac{\check{\Sigma}_{11}^{[-1]} \delta\check{\Sigma}_{23}^{[2]} - \check{\Sigma}_{12}^{[0]} \delta\check{\Sigma}_{13}^{[1]}}{\check{\Sigma}_{11}^{[-1]} \check{\Sigma}_{22}^{[1]} - \check{\Sigma}_{12}^{[0]2}} + O(\check{q}^2) \quad (21)$$

où $\chi_{\rho\rho}$ est exprimé en unités de k_0^3/μ et $\chi_{|\Delta\rho}$ est naturellement sans dimension. Une dépendance plus explicite en la fréquence réduite ν est obtenue en passant à la limite $\eta \rightarrow 0^+$ comme dans l'équation (16) :

$$\operatorname{asin} \frac{1}{\sqrt{\zeta}} \xrightarrow{\eta \rightarrow 0^+} \begin{cases} -i \operatorname{argsh} \frac{1}{\sqrt{-\nu}} & \text{si } \nu < 0 \\ \frac{\pi}{2} - i \operatorname{argch} \frac{1}{\sqrt{\nu}} & \text{si } 0 < \nu < 1 \\ \operatorname{asin} \frac{1}{\sqrt{\nu}} & \text{si } 1 < \nu \end{cases} \quad \text{et} \quad \sqrt{\zeta-1} \xrightarrow{\eta \rightarrow 0^+} \begin{cases} i\sqrt{1-\nu} & \text{si } \nu < 1 \\ \sqrt{\nu-1} & \text{si } \nu > 1 \end{cases} \quad (22)$$

Elle permet de vérifier que le coefficient $\check{\chi}_{\rho\rho}^{[3]}$ de la contribution d'ordre \check{q}^3 dans (20) et celui $\check{\chi}_{|\Delta\rho}^{[1]}$ de la contribution d'ordre \check{q} dans (21) ont une partie imaginaire nulle pour $\nu < 0$ (ceci était prévisible et se produit dans les fonctions de réponse à tous les ordres en q , car la densité d'états du continuum de paire brisée $\mathbf{k} \mapsto \varepsilon_{\mathbf{q}/2+\mathbf{k}} + \varepsilon_{\mathbf{q}/2-\mathbf{k}}$ est nulle aux énergies $< 2\Delta$) et une partie réelle nulle pour $\nu > 1$ (ceci pour une raison physique que nous ignorons, et qui ne vaut pas à tous les ordres en q). Ces coefficients ont une limite finie et réelle en $\nu = 0$, atteinte lentement (logarithmiquement, avec un écart variant comme $1/\ln|\nu|$),

$$\lim_{\nu \rightarrow 0} \check{\chi}_{\rho\rho}^{[3]}(\nu) = -\frac{1}{16\pi\check{\Delta}^3} - 32\pi\check{\Delta} [\delta\check{\Sigma}_{23}^{[2]}(\nu=0)]^2 \quad (23)$$

$$\lim_{\nu \rightarrow 0} \check{\chi}_{|\Delta\rho}^{[1]}(\nu) = 16\pi\check{\Delta} \delta\check{\Sigma}_{23}^{[2]}(\nu=0) \quad (24)$$

ce qui donne naissance à une structure pointue, à tangente verticale, dans la dépendance en ν , comme dans la référence [12]; ils présentent en $\nu = 1$ une singularité en $|\nu-1|^{1/2}$, sur la partie réelle pour $\nu \rightarrow 1^-$, sur la partie imaginaire pour $\nu \rightarrow 1^+$, ce qui donne lieu cette fois à un banal point anguleux à tangente verticale (voir la figure 2 à venir).

Analysons physiquement les résultats (20,21). D'abord, le terme dominant (d'ordre q^2) dans la fonction de réponse densité-densité n'a guère d'intérêt pour notre étude : il est insensible au mode du continuum puisque les fonctions $\Sigma_{ij}(z, \mathbf{q})$, même après prolongement au demi-plan complexe inférieur, ne comportent aucun pôle. Heureusement, il

4. On a aussi utilisé, pour $x \geq 0$, $E(ix) = \sqrt{1+x^2}E(x/\sqrt{1+x^2})$ et $K(ix) = K(x/\sqrt{1+x^2})/\sqrt{1+x^2}$ [46]. Ainsi, par exemple, $\int_0^{+\infty} dk \frac{k^2 \check{\xi}_k}{\check{\xi}_k^3} = K(ie^\tau) \sqrt{e^{2\tau}-1}/2$.

constitue un fond indépendant de la fréquence réduite ν , comme on peut le vérifier sur l'équation (19); il est donc possible de s'en débarrasser expérimentalement en considérant la différence

$$\check{\chi}_{\rho\rho}(\check{q}, \nu) - \check{\chi}_{\rho\rho}(\check{q}, \nu_0) \quad (25)$$

où ν est la variable courante et ν_0 , la fréquence réduite de référence, est fixée. On remarque aussi que ce fond en q^2 est réel, si bien qu'il ne contribue pas à la partie imaginaire de $\chi_{\rho\rho}$, qui est souvent ce que l'on mesure vraiment dans l'expérience [28]. En revanche, le terme sous-dominant (d'ordre q^3) dans $\chi_{\rho\rho}$ est sensible au mode du continuum : comme il contient des fonctions Σ_{ij} au dénominateur, son prolongement analytique au demi-plan complexe inférieur à travers l'intervalle $\nu \in [0, 1]$ admet un pôle en $\zeta = \zeta_0$, où le nombre complexe ζ_0 est celui de l'équation (14), avec un résidu non nul, voir la figure 1a. La même conclusion s'impose pour le terme dominant (d'ordre q) dans la fonction de réponse module-densité, voir la figure 1b.^{5 6} Sans surprise, sur ces figures tracées en fonction de q , le résidu Z du mode du continuum est complexe, puisqu'aussi bien les fonctions de réponse que l'énergie z_q le sont. En pratique, la phase de Z importe peu (le pôle est unique et sa contribution ne peut interférer avec celle d'un autre pôle) et c'est son module qui caractérise le poids spectral du mode; nous représentons donc $|Z|$ (ou plus précisément le coefficient de son ordre dominant en q) en fonction de la force des interactions sur la figure 4.

Cependant, les mesures physiques ont lieu sur l'axe réel des pulsations. Aussi avons-nous représenté $\check{\chi}_{\rho\rho}^{[3]}$ et $\check{\chi}_{|\Delta\rho}^{[1]}$ en fonction de la fréquence réduite ν sur la figure 2, pour deux valeurs de la force des interactions. Les structures étroites espérées devraient se trouver sur l'intervalle de prolongement analytique $\nu \in [0, 1]$, presque au-dessus du pôle ζ_0 donc près de la ligne verticale en trait plein vert. Pour $\check{\Delta} = 1/2$ (première ligne de la figure), on est dans le cas favorable $\text{Re } \zeta_0 \in [0, 1]$; or, $\check{\chi}_{\rho\rho}^{[3]}$ présente, sur l'intervalle $[0, 1]$, une structure en forme d'épaule avec un maximum et un minimum, aussi bien sur sa partie réelle que sur sa partie imaginaire; encore mieux, $\check{\chi}_{|\Delta\rho}^{[1]}$ présente, sur le même intervalle, une bosse assez prononcée sur sa partie réelle, il est vrai assez loin de la ligne verte, et un creux assez net sur sa partie imaginaire, proche de la ligne. Pour $\check{\Delta} = 2$ (seconde ligne de la figure), on est dans le cas défavorable $\text{Re } \zeta_0 < 0$; les fonctions de réponse devraient donc garder la trace du mode du continuum sur l'intervalle $\nu \in [0, 1]$ seulement au travers de l'aile de la résonance complexe associée, et non plus sous forme d'extréma; malheureusement, les structures observées restent essentiellement les mêmes que pour $\check{\Delta} = 1/2$, ce qui jette un doute affreux sur leur lien avec le mode du continuum.⁷

Pour voir ce qu'il en est vraiment, nous effectuons un prolongement analytique des coefficients $\check{\chi}_{\rho\rho}^{[3]}(\zeta)$ et $\check{\chi}_{|\Delta\rho}^{[1]}(\zeta)$ au demi-plan complexe inférieur $\text{Im } \zeta < 0$ comme dans la note 5, puis nous repérons la position des extréma de la partie réelle ou de la partie imaginaire de ces coefficients, c'est-à-dire leur abscisse ν_R , sur la droite horizontale $\zeta = \nu_R + i\nu_I$ d'ordonnée fixée ν_I , et nous traçons enfin le lieu de ces extréma lorsque ν_I varie dans l'intervalle $] \text{Im } \zeta_0, 0[$, voir la figure 3. Ce lieu est la réunion de lignes continues (ses composantes connexes); certaines, mais pas toutes⁸, convergent vers le pôle ζ_0 .⁹ Tout extrémum de $\check{\chi}_{\rho\rho}^{[3]}$ ou $\check{\chi}_{|\Delta\rho}^{[1]}$ sur l'intervalle réel $\nu \in]0, 1[$ relié continûment au pôle par une de ces lignes est indubitablement une marque physique du mode du continuum, observable dans la fonction de réponse

5. Le prolongement analytique de $\zeta \mapsto \check{\chi}_{\rho\rho}^{[3]}$ et $\zeta \mapsto \check{\chi}_{|\Delta\rho}^{[1]}$ du demi-plan supérieur au demi-plan inférieur est effectué en passant à travers l'intervalle $[0, 1]$ (reliant leurs singularités en $\nu = 0$ et $\nu = 1$ sur l'axe réel) par les substitutions $\frac{1}{\sqrt{\zeta}} \rightarrow \pi - \text{asin } \frac{1}{\sqrt{\zeta}}$ et $\sqrt{\zeta-1} \rightarrow -\sqrt{\zeta-1}$ comme dans la référence [12]. Le prolongement analytique du dénominateur au second membre des équations (20) et (21) donne précisément la fonction de [12] dont ζ_0 est racine. Il n'y a pas d'autre intervalle de prolongement à considérer car le dénominateur de $\check{\chi}_{\rho\rho}^{[3]}$ et $\check{\chi}_{|\Delta\rho}^{[1]}$ (étendu à $\mathbb{C} \setminus \mathbb{R}$ par les relations $\Sigma_{ij}(z) = [\Sigma_{ij}(z^*)]^*$) n'a de ligne de coupure ni pour $\nu \in]-\infty, 0[$ (par annulation de la densité d'états du continuum de paire brisée) ni pour $\nu \in [1, +\infty[$ (par compensation des discontinuités de $\check{\Sigma}_{11}^{[-1]}$ et $\check{\Sigma}_{22}^{[1]}$ sur cette demi-droite, qui sont un simple changement de signe).

6. Le prolongement analytique des fonctions $\Sigma_{ij}(z)$ de $\text{Im } z > 0$ à $\text{Im } z < 0$ est donné par $\Sigma_{ij\downarrow}(z) = \Sigma_{ij}(z) - \frac{2i\pi}{(2\pi)^3} \rho_{ij}(z)$ en termes des densités spectrales définies sur \mathbb{R}^+ par $\text{Im } \Sigma_{ij}(\varepsilon + i0^+) = -\frac{\pi}{(2\pi)^3} \rho_{ij}(\varepsilon)$ [48], qu'il suffit ici de connaître sur l'intervalle de prolongement entre les deux premiers points de branchement $\varepsilon_1(q) = 2\Delta$ et $\varepsilon_2(q)$ [12]. Alors $\rho_{13}(\varepsilon) = (\frac{2m}{\hbar^2})^2 \frac{\pi\varepsilon}{2q} K(i \text{sh } \Omega)$, $\rho_{23}(\varepsilon) = 0$, $\rho_{33}(\varepsilon) = (\frac{2m}{\hbar^2})^2 \frac{\pi\Delta}{q} E(i \text{sh } \Omega)$, avec $\Omega = \text{argch } \frac{\varepsilon}{2\Delta}$. Les autres $\rho_{ij}(\varepsilon)$ figurent dans les références [12, 13].

7. Quand $\text{Re } \zeta_0 < 0$, il ne faut pas en général espérer voir de bosse ou de creux associé au mode du continuum dans les fonctions de réponse sur l'intervalle $\nu \in]-\infty, 0[$. En effet, cet intervalle physique est séparé du pôle par le bout de la ligne de coupure $[0, 1]$ qu'il a fallu rabattre sur $] -\infty, 0[$ pour effectuer le prolongement analytique, l'autre bout étant rabattu sur $[1, +\infty[$.

8. Une ligne de maxima et une ligne de minima de $\text{Re } \chi$ ($\text{Im } \chi$) peuvent se rejoindre en un point d'arrêt où $\text{Re } \partial_{\nu_R}^2 \chi = 0$ ($\text{Im } \partial_{\nu_R}^2 \chi = 0$).

9. En ζ_0 , on s'attend en général à voir converger une ligne de minima et une ligne de maxima de la partie réelle et de la partie imaginaire, soit quatre lignes au total. En effet une fonction méromorphe $f(\zeta)$ au voisinage de son pôle ζ_0 est équivalente à $Z/(\zeta - \zeta_0)$, où Z est le résidu. Des décompositions en partie réelle et imaginaire $Z = a + ib$, $\zeta - \zeta_0 = x + iy$, et du changement d'échelle $x = yX$, où $y > 0$ est la distance de la droite horizontale $\zeta = \nu_R + i\nu_I$ au pôle, nous tirons $f(\zeta) \sim y^{-1} (\frac{aX+b}{X^2+1} + i \frac{bX-a}{X^2+1})$. Or, pour tout $u \in \mathbb{R}$, la fonction $X \mapsto (X+u)/(X^2+1)$ admet sur \mathbb{R} un

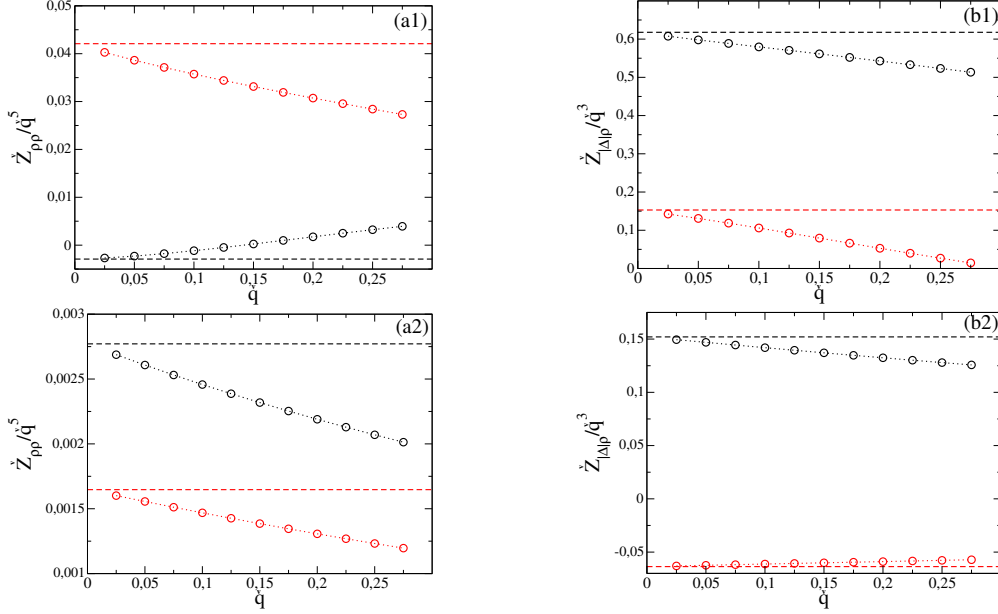


FIGURE 1: Poids spectral complexe du mode du continuum dans les fonctions de réponse densité-densité (colonne a) et module-densité (colonne b), c'est-à-dire résidu Z_{pp} ou $Z_{|\Delta\rho}$ du prolongement analytique de $\chi_{pp}(\mathbf{q}, z/\hbar)$ ou de $\chi_{|\Delta\rho}(\mathbf{q}, z/\hbar)$ de $\text{Im } z > 0$ à $\text{Im } z < 0$ (à travers l'intervalle entre leurs deux premières singularités $\varepsilon_1(q)$ et $\varepsilon_2(q)$ sur \mathbb{R}^+) en le pôle z_q (énergie complexe du mode), en fonction du nombre d'onde q , du côté $\mu > 0$ du raccordement CBE-BCS (12), pour $\check{\Delta} = 1/2$ (ligne 1) et $\check{\Delta} = 2$ (ligne 2). Les résidus ont été divisés par la puissance de q assurant l'existence d'une limite finie et non nulle en $q = 0$. En noir : partie réelle; en rouge : partie imaginaire. Cercles reliés en pointillés : résultats numériques tirés des formes générales (13); le prolongement analytique est effectué comme dans [12, 13] par la méthode des densités spectrales de la référence [48], voir notre note 6. Tiretés horizontaux : limite en $q = 0$, tirée des résultats analytiques (20,21) prolongés comme dans la note 5. Accent tchèque : adimensionnement de Δ par μ ($\check{\Delta} = \Delta/\mu$), de q par $k_0 = (2m\mu)^{1/2}/\hbar$ ($\check{q} = q/k_0$), de Z_{pp} par k_0^3 et de $Z_{|\Delta\rho}$ par μ .

associée; les autres extréma sur l'axe réel n'en sont pas. D'où le verdict sur la figure 2 : pour $\check{\Delta} = 1/2$, seuls le maximum de $\text{Re } \check{\chi}_{pp}^{[3]}$, le maximum de $\text{Im } \check{\chi}_{pp}^{[3]}$, le maximum de $\text{Re } \check{\chi}_{|\Delta\rho}^{[1]}$ et le minimum de $\text{Im } \check{\chi}_{|\Delta\rho}^{[1]}$ sur $\nu \in]0, 1[$ sont des marques physiques du mode du continuum; pour $\check{\Delta} = 2$, c'est le cas seulement du maximum de $\text{Re } \check{\chi}_{pp}^{[3]}$, du maximum de $\text{Im } \check{\chi}_{pp}^{[3]}$ et du maximum de $\text{Re } \check{\chi}_{|\Delta\rho}^{[1]}$ sur $\nu \in]0, 1[$.

En définitive, il reste à voir jusqu'à quel point on peut extraire la position et le poids spectral du mode du continuum de mesures des fonctions de réponse sur l'intervalle de fréquence réduite $\nu \in [0, 1]$. À cette fin, nous proposons un ajustement très simple des susceptibilités $\chi(\mathbf{q}, \omega)$ par la somme de la contribution du pôle du mode collectif et d'un fond affine lentement variable décrivant la réponse large du continuum :

$$\check{\chi}_{|\Delta\rho}^{[1]}(\nu)|_{\text{ajust}} = \frac{A}{\nu - B} + C + D\nu \quad (A, B, C, D \in \mathbb{C}) \quad (26)$$

en prenant l'exemple de la réponse module-densité limitée à son ordre dominant en q . La fonction d'ajustement est équilibrée dans sa recherche de précision, puisqu'elle décrit le fond avec le même nombre de paramètres ajustables complexes (C et D) que la résonance (A et B), soit un paramètre de plus que dans la référence [12]. L'ajustement est effectué sur un sous-intervalle $[\nu_1, \nu_2]$ de $[0, 1]$ afin d'éviter les singularités aux bornes. Le résultat est très encourageant pour la réponse module-densité, voir la figure 4a : on obtient une bonne approximation de l'énergie complexe et du poids spectral du mode, même pour $\check{\Delta} > 1, 21$ où $\text{Re } \zeta_0 < 0$ et où le pôle n'est plus en dessous de l'intervalle de

minimum en $-u - \sqrt{1 + u^2}$ et un maximum en $-u + \sqrt{1 + u^2}$. Donc, si $a \neq 0$ ($b \neq 0$), on voit converger vers ζ_0 deux lignes d'extréma de la partie réelle (imaginaire). Pour $\check{\Delta} = 1/2$, la ligne des minima de $\text{Re } \check{\chi}_{pp}^{[3]}$ arrive presque horizontalement (par la droite, avec une pente $\approx -a/2b$, voir la figure 3a1) car le résidu est presque imaginaire pur, $\check{Z}_{pp} \sim (-0,003 + 0,04i)\check{q}^5$ comme on le voit sur la figure 1a1.

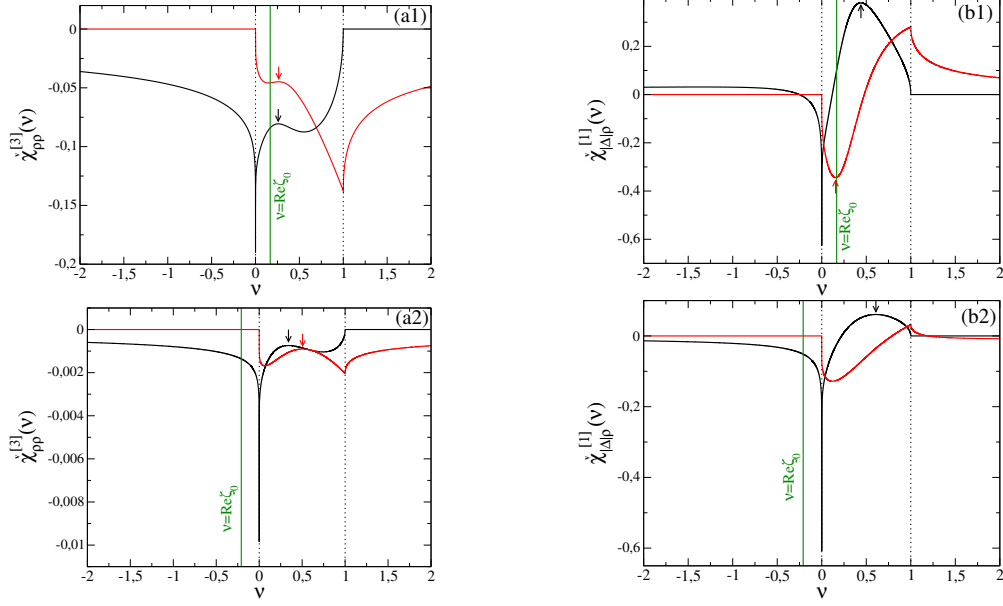


FIGURE 2: Premier coefficient sensible au mode du continuum dans le développement à faible nombre d'onde q (20, 21) des fonctions de réponse densité-densité (colonne a, ordre q^3) et module-densité (colonne b, ordre q), du côté $\mu > 0$ du raccordement CBE-CBS (12), pour $\tilde{\Delta} = 1/2$ (ligne 1) et $\tilde{\Delta} = 2$ (ligne 2), en fonction de la fréquence réduite ν de l'équation (15) (utiliser la variable ν plutôt que ω revient à regarder astucieusement l'axe des pulsations autour de $2\Delta/\hbar$ avec un grossissement divergent $\propto q^{-2}$ compensant exactement le rétrécissement du mode du continuum lorsque $q \rightarrow 0$). Trait plein noir : partie réelle; trait plein rouge : partie imaginaire. Pointillés verticaux : positions $\nu = 0$ et $\nu = 1$ des singularités. Ligne verticale verte : partie réelle réduite $\text{Re } \zeta_0$ de l'énergie complexe du mode du continuum. Les extréma indiqués par une flèche sont une marque physique du mode du continuum sur l'axe réel des fréquences (voir le texte et la figure 3). Accent tchèque : adimensionnement de Δ par μ , de q par $k_0 = (2m\mu)^{1/2}/\hbar$, de $\chi_{\rho\rho}(\mathbf{q}, \omega)$ par k_0^3/μ ; $\chi_{|\Delta|\rho}(\mathbf{q}, \omega)$ est déjà sans dimension.

prolongement analytique (et de mesure) $\nu \in [0, 1]$. En revanche, le résultat est mauvais pour la réponse densité-densité, voir la figure 4b, sauf peut-être pour la largeur de la résonance. Pour comprendre cette différence de succès suivant l'observable $|\Delta|$ ou ρ , nous avons calculé la hauteur relative h_{rel} de la contribution de la résonance sur le fond.¹⁰ Pour $\tilde{\Delta} < 2$, nous trouvons toujours que $h_{\text{rel}} > 1$ pour le module du paramètre d'ordre, mais que $h_{\text{rel}} < 1$ pour la densité. Par exemple, pour $\tilde{\Delta} = 1/2$, $h_{\text{rel}}^{|\Delta|\rho} \simeq 1,8$ alors que $h_{\text{rel}}^{\rho\rho} \simeq 0,37$. Le problème est donc que la résonance complexe n'émerge pas assez du fond dans la réponse densité-densité. Ce problème devient rédhibitoire dans la limite d'interaction faible, où $h_{\text{rel}}^{\rho\rho} \rightarrow 0$, alors qu'il ne se pose pas pour le module, puisque $h_{\text{rel}}^{|\Delta|\rho} \rightarrow 2,338 \dots$ pour $\nu_1 < \text{Re } \zeta_0$, voir la section 4.

4. Dans la limite BCS d'interaction faible

Le régime d'attraction faible $k_F a \rightarrow 0^-$, bien que peu pertinent pour les expériences d'atomes froids, présente un certain intérêt théorique : c'est en effet là que la théorie BCS utilisée est la plus quantitative et la plus fiable. Une façon astucieuse de prendre la limite continue de notre modèle sur réseau correspond à la chaîne d'inégalités $0 < -a \ll b \ll 1/k_F$: on peut continuer à remplacer le domaine d'intégration \mathcal{D} par \mathbb{R}^3 dans la définition des Σ_{ij} , mais comme $|a|/b \ll 1$, l'interaction entre fermions est désormais dans le régime de Born de la théorie de la diffusion, si bien que l'on peut approximer g_0 par g dans la matrice (8),

$$g_0 \rightarrow g \quad (27)$$

et que le déplacement de champ moyen de Hartree subsiste dans le spectre BCS, avec $\xi_{\mathbf{k}} = E_{\mathbf{k}} - \mu + \rho g/2$. À l'ordre en $k_F a$, l'équation d'état du gaz à température nulle contient justement ce terme de Hartree, $\mu = \varepsilon_F + \rho g/2$; le

10. La fonction $\chi(\nu)$ étant donnée, on définit le fond par $F(\nu) = \chi(\nu) - Z_0/(\nu - \zeta_0)$, ζ_0 étant le pôle du prolongement analytique de χ au demi-plan complexe inférieur et Z_0 le résidu associé. Alors $h_{\text{rel}} = |Z_0/(\nu_0 - \zeta_0)|/|F(\nu_0)|$ avec $\nu_0 = \max(\nu_1, \text{Re } \zeta_0)$.

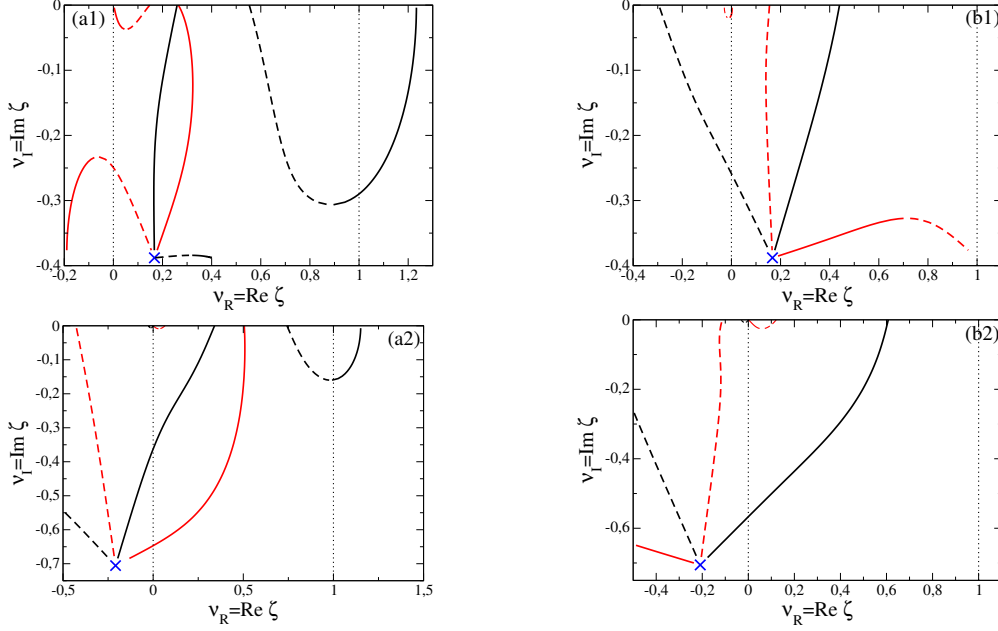


FIGURE 3: Lieu des extréma des fonctions de la partie réelle $v_R \mapsto \text{Re} \chi^{[n]}(\zeta = v_R + iv_I)$ (en noir) et $v_R \mapsto \text{Im} \chi^{[n]}(\zeta = v_R + iv_I)$ (en rouge) lorsque la partie imaginaire v_I de ζ varie. Ici $\chi^{[n]}(\zeta)$ est le coefficient de q^n dans le développement à faible q de la susceptibilité $\chi(\mathbf{q}, \omega)$ à v fixé dans (15), voir les équations (20,21), prolongé analytiquement de $\text{Im} \zeta > 0$ à $\text{Im} \zeta < 0$ à travers $v \in [0, 1]$ comme l'indique la flèche \downarrow dans la notation $\chi \downarrow$. Colonne (a) : $\chi = \chi_{\rho\rho}$ et $n = 3$; colonne (b) : $\chi = \chi_{|\Delta\rho}$ et $n = 1$. Le gaz de fermions est dans le raccordement CBE-BCS du côté $\mu > 0$: $\Delta/\mu = 1/2$ (ligne 1) et $\Delta/\mu = 2$ (ligne 2). Trait plein : l'extrémum est un maximum. Tireté : l'extrémum est un minimum. Croix bleue : énergie complexe réduite ζ_0 du mode du continuum. Pointillés verticaux : positions $v = 0$ et $v = 1$ des singularités de $\chi^{[n]}(v)$ sur l'axe réel.

spectre BCS correspondant vaut simplement $\varepsilon_{\mathbf{k}} = [(E_{\mathbf{k}} - \varepsilon_F)^2 + \Delta^2]^{1/2}$, en accord avec la référence [11], et atteint son minimum au nombre d'onde $k_0 = k_F$.

Les expressions (13) des fonctions de réponse obtenues pour $g_0 = 0$ ne suffisent plus. Recalculons-les en partant des expressions générales (10,11) et en y effectuant la substitution (27). En procédant comme dans la note 2, nous obtenons¹¹

$$\chi_{\rho\rho} = \frac{2 \begin{vmatrix} \Sigma_{11} & \Sigma_{12} & \Sigma_{13} \\ \Sigma_{12} & \Sigma_{22} & \Sigma_{23} \\ \Sigma_{13} & \Sigma_{23} & \Sigma_{33} \end{vmatrix}}{\det M}, \quad \chi_{|\Delta\rho} = \frac{\begin{vmatrix} \Sigma_{11} & \Sigma_{13} \\ \Sigma_{12} & \Sigma_{23} \end{vmatrix}}{\det M} \quad (28)$$

en sous-entendant que les χ sont évalués en (\mathbf{q}, ω) et les Σ_{ij} en $(z = \hbar\omega + i0^+, \mathbf{q})$. Or, le déterminant $\det M$ est une fonction linéaire du troisième vecteur colonne de M , si bien que

$$\det M = \begin{vmatrix} \Sigma_{11} & \Sigma_{12} \\ \Sigma_{12} & \Sigma_{22} \end{vmatrix} - g \begin{vmatrix} \Sigma_{11} & \Sigma_{12} & \Sigma_{13} \\ \Sigma_{12} & \Sigma_{22} & \Sigma_{23} \\ \Sigma_{13} & \Sigma_{23} & \Sigma_{33} \end{vmatrix} \quad (29)$$

En divisant (28) haut et bas par le premier terme au second membre de (29), nous faisons apparaître les susceptibilités (13) obtenues pour $g_0 = 0$, que nous notons $\chi^{g_0=0}$, et qui permettent donc d'écrire très simplement les susceptibilités cherchées à $g_0 = g$ non nul :

$$\chi_{\rho\rho} = \frac{\chi_{\rho\rho}^{g_0=0}}{1 - \frac{g}{2}\chi_{\rho\rho}^{g_0=0}}, \quad \chi_{|\Delta\rho} = \frac{\chi_{|\Delta\rho}^{g_0=0}}{1 - \frac{g}{2}\chi_{\rho\rho}^{g_0=0}} \quad (30)$$

11. Dans le déterminant de Cramer 3×3 au numérateur de $\chi_{|\Delta\rho}$, on ajoute à la troisième colonne la deuxième multipliée par g pour se ramener à un déterminant 2×2 .

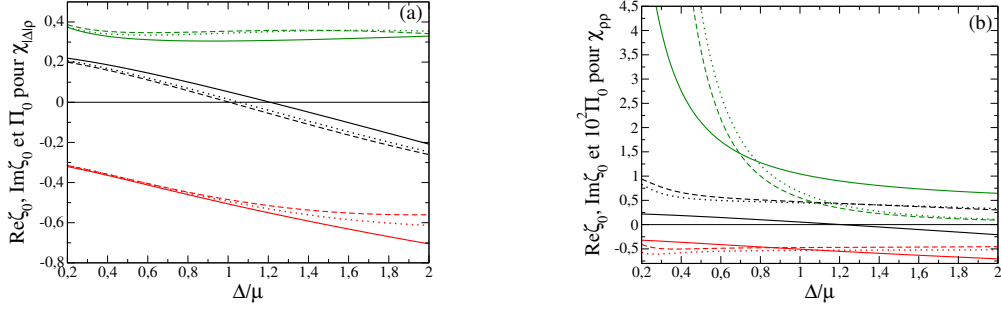


FIGURE 4: Extraction de l'énergie complexe du mode du continuum et de son poids spectral par un ajustement à quatre paramètres complexes (26) des fonctions de réponse $\chi(\mathbf{q}, \omega)$ dans le raccordement CBE-BCS du côté $\mu > 0$ (la valeur $\tilde{\Delta} = 0,2$ correspondant à $k_F a \approx -1$ dans la théorie BCS). (a) Par ajustement du coefficient $\check{\chi}_{|\Delta p}^{[1]}(\nu)$ de \check{q} dans le développement (21) de la fonction de réponse module-densité. (b) Idem pour le coefficient $\check{\chi}_{\rho\rho}^{[3]}(\nu)$ de \check{q}^3 dans (20). En noir (rouge) : partie réelle (imaginaire) du coefficient ζ_0 dans le départ quadratique (14) de l'énergie complexe. En vert : poids spectral Π_0 du mode dans la fonction de réponse considérée (c'est le module du résidu du prolongement analytique de $\check{\chi}^{[n]}$ en ζ_0 , si bien que $\Pi_0 = \lim_{\check{q} \rightarrow 0} \tilde{\Delta} |\check{Z}_{|\Delta p}| / \check{q}^3$ dans (a) et $\Pi_0 = \lim_{\check{q} \rightarrow 0} \tilde{\Delta} |\check{Z}_{\rho\rho}| / \check{q}^3$ dans (b), où les \check{Z} sont ceux de la figure 1 et on a tenu compte du changement d'échelle (15)). Trait plein : valeurs exactes. Tireté : valeurs tirées de l'ajustement sur l'intervalle de fréquence réduite $\nu \in [1/10, 9/10]$. Pointillé : idem pour $\nu \in [1/5, 4/5]$. L'intervalle d'ajustement a été discrétisé en 60 points régulièrement espacés. Noter le facteur 100 sur Π_0 dans (b).

Les formes (30) sont typiques de la théorie de la RPA [49], à laquelle notre théorie BCS dépendant du temps linéarisée est équivalente à des fluctuations quantiques entrantes près [44]. De telles formes (mais pas les expressions explicites que nous en donnons) apparaissent déjà dans les références [33, 34].

Il est donc facile de reprendre l'étude des fonctions de réponse au voisinage du mode du continuum à faible nombre d'onde, en faisant tendre q vers zéro à fréquence réduite ν fixée comme dans (15). Comme $\chi_{\rho\rho}^{g_0=0}(\mathbf{q}, \omega)$ varie alors au second ordre en q , les dénominateurs dans (30) peuvent être approximés par 1 et les résultats (20,21) se transposent directement. De manière remarquable, toute la discussion à faible q de la section 3 est en fait indépendante de la valeur précise de g_0 et s'applique aussi au cas $g_0 = g$, exception faite bien sûr de la valeur de la fonction $\xi_{\mathbf{k}}$ et du spectre BCS $\varepsilon_{\mathbf{k}}$, ainsi que de la position k_0 de son minimum.

Dans la présente limite $k_F a \rightarrow 0^-$, le paramètre d'ordre à l'équilibre tend exponentiellement vers zéro, $\Delta/\varepsilon_F \sim 8e^{-2} \exp(-\pi/2k_F|a|)$ selon la théorie BCS [50]. Ceci permet de simplifier grandement nos résultats. Donnons ainsi le coefficient de \check{q}^3 et de \check{q} dans les développements limités (20,21) des fonctions de réponse à l'ordre dominant en $\tilde{\Delta}$:¹²

$$\check{\chi}_{\rho\rho}^{[3]}(\nu) \underset{\tilde{\Delta} \rightarrow 0}{\sim} \frac{(\zeta - 2)\sqrt{\zeta - 1} + \zeta^2 \operatorname{asin} \frac{1}{\sqrt{\zeta}} - \frac{2(\zeta-1)}{\operatorname{asin} \frac{1}{\sqrt{\zeta}}}}{32i\pi\tilde{\Delta}^3} \quad (31)$$

$$\check{\chi}_{|\Delta p}^{[1]}(\nu) \underset{\tilde{\Delta} \rightarrow 0}{\sim} \frac{2}{i\pi} \left[\frac{1 + \zeta \ln \frac{\tilde{\Delta}}{8e}}{\zeta \operatorname{asin} \frac{1}{\sqrt{\zeta}} + \sqrt{\zeta - 1}} - \frac{\frac{1}{2} \ln \frac{\tilde{\Delta}}{8e}}{\operatorname{asin} \frac{1}{\sqrt{\zeta}}} \right] \quad (32)$$

où les énergies sont cette fois en unités de ε_F ($\tilde{\Delta} = \Delta/\varepsilon_F$) et les nombres d'onde en unités de $k_0 = k_F$ ($\check{q} = q/k_F$). À cet ordre, au contraire de la réponse en module, la réponse en densité ne présente plus de pôle dans son prolongement analytique donc ne porte aucune trace du mode du continuum¹³; d'ailleurs, sur l'intervalle ouvert $\nu \in]0, 1[$, sa partie réelle (imaginaire) est une fonction purement croissante (décroissante) de ν , sans extrémum, en contraste avec la figure 2a1.

¹². On utilise la section 4.6.3 de la référence [13] pour Σ_{12} et le développement connu des intégrales elliptiques pour le reste. Les développements (20,21) supposent que $q\tilde{\Delta} \ll 1$ donc $\check{q} \ll \tilde{\Delta}$, d'où l'ordre des limites $q \rightarrow 0$ puis $\tilde{\Delta} \rightarrow 0$.

¹³. Il faut développer $\check{\chi}_{\rho\rho}^{[3]}(\zeta)$ à l'ordre $\tilde{\Delta}^{-1}$ pour trouver un pôle dans son prolongement analytique, de résidu $\zeta_0^{(0)}(1 + \zeta_0^{(0)} \ln \frac{\tilde{\Delta}}{8e})^2 / (2i\pi^3 \tilde{\Delta} \sqrt{\zeta_0^{(0)} - 1})$ avec $\zeta_0^{(0)} \approx 0,2369 - 0,2956i$.

5. Conclusion

À température nulle, dans l'approximation BCS dépendant du temps, nous avons calculé la réponse linéaire $\chi(\mathbf{q}, \omega)$ d'un gaz superfluide de fermions de spin $1/2$ à une excitation de Bragg de vecteur d'onde \mathbf{q} et de pulsation ω , comme on sait bien en réaliser dans une expérience d'atomes froids. Pour un potentiel chimique $\mu > 0$, nous avons étudié cette réponse analytiquement dans la limite des faibles nombres d'onde $q \rightarrow 0$, l'écart de $\hbar\omega$ au bord 2Δ du continuum de paire brisée étant mis à l'échelle $\propto q^2$ de celui de l'énergie complexe $z_{\mathbf{q}}$ du mode du continuum, mode à ce jour inobservé; bien que de nombreux travaux théoriques aient été consacrés aux fonctions de réponse d'un superfluide de fermions, nos résultats analytiques sur χ dans cette étroite fenêtre de fréquence $\hbar\omega - 2\Delta = O(q^2)$ sont à notre connaissance originaux. Dans le raccordement CBE-BCS où le paramètre d'ordre Δ est comparable à μ , le mode du continuum est à l'origine de bosses ou de creux en fréquence dans les fonctions de réponse en densité et en module du paramètre d'ordre. Un ajustement simple de ces fonctions par la somme d'une résonance complexe et d'un fond affine en fréquence permet d'estimer l'énergie complexe $z_{\mathbf{q}}$ et le poids spectral du mode, avec une bonne précision pour la réponse en module, même lorsque $\text{Re } z_{\mathbf{q}} < 2\Delta$ donc que le mode n'est pas sous l'intervalle de prolongement analytique (dans la théorie) et de mesure (dans l'expérience). Ceci laisse augurer une observation prochaine.

Remerciements

L'intérêt de cette étude nous est apparu lors d'une discussion avec Chris Vale au congrès BEC 2019 à Sant Feliu de Guixols. Nous remercions aussi Hadrien Kurkjian pour d'utiles remarques sur le calcul de la fonction de réponse densité-densité, même s'il a préféré finalement collaborer avec d'autres sur le sujet [51]. Remarquons pour terminer que la date de soumission du présent travail est très postérieure à celle de la prépublication correspondante [52]; nous avons dû en effet retirer notre précédente soumission à une revue qui s'est révélée incapable de produire un rapport d'expertise.

Références

- [1] A.L. Gaunt, T.F. Schmidutz, I. Gotlibovych, R.P. Smith, Z. Hadzibabic, « Bose-Einstein condensation of atoms in a uniform potential », Phys. Rev. Lett. **110**, 200406 (2013).
- [2] B. Mukherjee, Zhenjie Yan, P.B. Patel, Z. Hadzibabic, T. Yefsah, J. Struck, M.W. Zwierlein, « Homogeneous Atomic Fermi Gases », Phys. Rev. Lett. **118**, 123401 (2017).
- [3] K. Hueck, N. Luick, L. Sobirey, J. Siegl, T. Lompe, H. Moritz, « Two-Dimensional Homogeneous Fermi Gases », Phys. Rev. Lett. **120**, 060402 (2018).
- [4] P.B. Patel, Zhenjie Yan, B. Mukherjee, R.J. Fletcher, J. Struck, M.W. Zwierlein, « Universal Sound Diffusion in a Strongly Interacting Fermi Gas », arXiv:1909.02555 (2019).
- [5] K.M. O'Hara, S.L. Hemmer, M.E. Gehm, S.R. Granade, J.E. Thomas, « Observation of a strongly interacting degenerate Fermi gas of atoms », Science **298**, 2179 (2002).
- [6] T. Bourdel, J. Cubizolles, L. Khaykovich, K.M. Magalhães, S.J.J.M.F. Kokkelmans, G.V. Shlyapnikov, C. Salomon, « Measurement of the interaction energy near a Feshbach resonance in a ^6Li Fermi gas », Phys. Rev. Lett. **91**, 020402 (2003).
- [7] M. Bartenstein, A. Altmeyer, S. Riedl, S. Jochim, C. Chin, J.H. Denschlag, R. Grimm, « Collective excitations of a degenerate gas at the BEC-BCS crossover », Phys. Rev. Lett. **92**, 203201 (2004).
- [8] M.W. Zwierlein, C.A. Stan, C.H. Schunck, S.M.F. Raupach, A.J. Kerman, W. Ketterle, « Condensation of pairs of fermionic atoms near a Feshbach resonance », Phys. Rev. Lett. **92**, 120403 (2004).
- [9] S. Nascimbène, N. Navon, K.J. Jiang, F. Chevy, C. Salomon, « Exploring the thermodynamics of a universal Fermi gas », Nature **463**, 1057 (2010).
- [10] M.J.H. Ku, A.T. Sommer, L.W. Cheuk, M.W. Zwierlein, « Revealing the superfluid lambda transition in the universal thermodynamics of a unitary Fermi gas », Science **335**, 563 (2012).
- [11] V.A. Andrianov, V.N. Popov, « Gidrodinamičeskoe dejstvie i Boze-spektr sverhtekučih Fermi-sistem », Teor. Mat. Fiz. **28**, 341 (1976) [Theor. Math. Phys. **28**, 829 (1976)].
- [12] H. Kurkjian, S.N. Klimin, J. Tempere, Y. Castin, « Pair-Breaking Collective Branch in BCS Superconductors and Superfluid Fermi Gases », Phys. Rev. Lett. **122**, 093403 (2019).
- [13] H. Kurkjian, Y. Castin, « Branche d'excitation collective du continuum dans les gaz de fermions condensés par paires : étude analytique et lois d'échelle », à paraître aux Comptes Rendus Physique (2020).
- [14] D. Pekker, C.M. Varma, « Amplitude/Higgs Modes in Condensed Matter Physics », Annual Review of Condensed Matter Physics **6**, 269 (2015).
- [15] T. Cea, C. Castellani, G. Seibold, L. Benfatto, « Nonrelativistic Dynamics of the Amplitude (Higgs) Mode in Superconductors », Phys. Rev. Lett. **115**, 157002 (2015).

- [16] R. Matsunaga, Y.I. Hamada, K. Makise, Y. Uzawa, H. Terai, Z. Wang, R. Shimano, « [Higgs Amplitude Mode in the BCS Superconductors Nb_{1-x}Ti_xN Induced by Terahertz Pulse Excitation](#) », *Phys. Rev. Lett.* **111**, 057002 (2013).
- [17] M.-A. Méasson, Y. Gallais, M. Cazayous, B. Clair, P. Rodière, L. Cario, A. Sacuto, « [Amplitude Higgs mode in the 2H-NbSe₂ superconductor](#) », *Phys. Rev. B* **89**, 060503 (2014).
- [18] A. Behrle, T. Harrison, J. Kombe, K. Gao, M. Link, J.S. Bernier, C. Kollath, M. Köhl, « [Higgs mode in a strongly interacting fermionic superfluid](#) », *Nat. Phys.* **14**, 781 (2018).
- [19] A.F. Volkov, Ch.M. Kogan, « [Collisionless relaxation of the energy gap in superconductors](#) », *Zh. Eksp. Teor. Fiz.* **65**, 2038 (1973).
- [20] E.A. Yuzbashyan, O. Tsyplatyev, B.L. Altshuler, « [Relaxation and Persistent Oscillations of the Order Parameter in Fermionic Condensates](#) », *Phys. Rev. Lett.* **96**, 097005 (2006).
- [21] V. Gurarie, « [Nonequilibrium Dynamics of Weakly and Strongly Paired Superconductors](#) », *Phys. Rev. Lett.* **103**, 075301 (2009).
- [22] I. O. Kulik, O. Entin-Wohlman, R. Orbach, « [Pair susceptibility and mode propagation in superconductors: A microscopic approach](#) », *J. Low Temp. Phys.* **43**, 591 (1981).
- [23] R.G. Scott, F. Dalfovo, L.P. Pitaevskii, S. Stringari, « [Rapid ramps across the BEC-BCS crossover: A route to measuring the superfluid gap](#) », *Phys. Rev. A* **86**, 053604 (2012).
- [24] J. Stenger, S. Inouye, A.P. Chikkatur, D.M. Stamper-Kurn, D.E. Pritchard, W. Ketterle, « [Bragg spectroscopy of a Bose-Einstein condensate](#) », *Phys. Rev. Lett.* **82**, 4569 (1999).
- [25] J. Steinhauer, R. Ozeri, N. Katz, N. Davidson, « [Excitation spectrum of a Bose-Einstein condensate](#) », *Phys. Rev. Lett.* **88**, 120407 (2002).
- [26] G. Veeravalli, E. Kuhnle, P. Dyke, C.J. Vale, « [Bragg spectroscopy of a strongly interacting Fermi gas](#) », *Phys. Rev. Lett.* **101**, 250403 (2008).
- [27] E.D. Kuhnle, S. Hoinka, Hui Hu, P. Dyke, P. Hannaford, C.J. Vale, « [Studies of the universal contact in a strongly interacting Fermi gas using Bragg spectroscopy](#) », *New J. Phys.* **13**, 055010 (2011).
- [28] S. Hoinka, P. Dyke, M.G. Lingham, J.J. Kinnunen, G.M. Bruun, C.J. Vale, « [Goldstone mode and pair-breaking excitations in atomic Fermi superfluids](#) », *Nature Physics* **13**, 943 (2017).
- [29] W. Ketterle, « [Making, probing and understanding ultracold Fermi gases](#) », section 2, in *Ultra-cold Fermi gases*, Cours de l'école de physique Enrico Fermi 2006 de Varenne, édité par M. Inguscio, W. Ketterle, C. Salomon (SIF, Bologne, 2007).
- [30] I. Carusotto, Y. Castin, « [Atom interferometric detection of the pairing order parameter in a Fermi gas](#) », *Phys. Rev. Lett.* **94**, 223202 (2005).
- [31] M.W. Zwierlein, J.R. Abo-Shaer, A. Schirotzek, C.H. Schunck, W. Ketterle, « [Vortices and Superfluidity in a Strongly Interacting Fermi Gas](#) », *Nature* **435**, 1047 (2005).
- [32] T. Kostyrko, R. Micnas, « [Collective modes of the extended Hubbard model with negative \$U\$ and arbitrary electron density](#) », *Phys. Rev. B* **46**, 11025 (1992).
- [33] R. Côté, A. Griffin, « [Cooper-pair-condensate fluctuations and plasmons in layered superconductors](#) », *Phys. Rev. B* **48**, 10404 (1993).
- [34] A. Minguzzi, G. Ferrari, Y. Castin, « [Dynamic structure factor of a superfluid Fermi gas](#) », *Eur. Phys. J. D* **17**, 49 (2001).
- [35] G.M. Bruun, B.R. Mottelson, « [Low Energy Collective Modes of a Superfluid Trapped Atomic Fermi Gas](#) », *Phys. Rev. Lett.* **87**, 270403 (2001).
- [36] H.P. Büchler, P. Zoller, W. Zwerger, « [Spectroscopy of Superfluid Pairing in Atomic Fermi Gases](#) », *Phys. Rev. Lett.* **93**, 080401 (2004).
- [37] A. Korolyuk, J.J. Kinnunen, P. Törmä, « [Density response of a trapped Fermi gas: a crossover from the pair vibration mode to the Goldstone mode](#) », *Phys. Rev. A* **84**, 033623 (2011).
- [38] Lianyi He, « [Dynamic density and spin responses of a superfluid Fermi gas in the BCS-BEC crossover: Path integral formulation and pair fluctuation theory](#) », *Annals of Physics* **373**, 470 (2016).
- [39] S. Giorgini, L.P. Pitaevskii, S. Stringari, « [Theory of ultracold atomic Fermi gases](#) », *Rev. Mod. Phys.* **80**, 1215 (2008).
- [40] C. Cohen-Tannoudji, J. Dupont-Roc, G. Grynberg, in *Processus d'interaction entre photons et atomes*, section III.A.2 (InterEditions et Editions du CNRS, Paris, 1988).
- [41] Y. Castin, « [Simple theoretical tools for low dimension Bose gases](#) », Cours de l'école de printemps des Houches 2003 *Quantum Gases in Low Dimensions*, édité par M. Olshanii, H. Perrin, L. Pricoupenko, *J. Phys. IV France* **116**, 89 (2004).
- [42] W. Zwerger (éditeur), *The BCS-BEC Crossover and the Unitary Fermi gas*, Lecture Notes in Physics **836**, section 5.2 (Springer, Berlin, 2011).
- [43] Y. Castin, « [Basic tools for degenerate Fermi gases](#) », section 3.5.1, in *Ultra-cold Fermi gases*, Cours de l'école de physique Enrico Fermi 2006 de Varenne, édité par M. Inguscio, W. Ketterle, C. Salomon (SIF, Bologne, 2007).
- [44] H. Kurkjian, « [Cohérence, brouillage et dynamique de phase dans un condensat de paires de fermions](#), thèse de doctorat, École Normale Supérieure, Paris (2016).
- [45] H. Kurkjian, Y. Castin, A. Sinatra, « [Three-phonon and four-phonon interaction processes in a pair-condensed Fermi gas](#) », *Annalen der Physik (Berlin)* **529**, 1600352 (2017).
- [46] I.S. Gradshteyn, I.M. Ryzhik, *Tables of integrals, series, and products*, édité par A. Jeffrey, 5ème édition (Academic Press, San Diego, 1994).
- [47] M. Marini, F. Pistolesi, G.C. Strinati, « [Evolution from BCS superconductivity to Bose condensation: Analytic results for the crossover in three dimensions](#) », *Eur. Phys. J. B* **1**, 151 (1998).
- [48] P. Nozières, *Le problème à N corps : Propriétés générales des gaz de fermions*, appendice C (Dunod, Paris, 1963).
- [49] P.W. Anderson, « [Random-phase approximation in the theory of superconductivity](#) », *Phys. Rev.* **112**, 1900 (1958).
- [50] M. Randeria, in *Bose-Einstein Condensation*, chapitre 15, p.373, édité par A. Griffin, D.W. Snoke, S. Stringari (Cambridge University Press, Cambridge, 1995).
- [51] H. Kurkjian, J. Tempere, S.N. Klimin, « [Linear response of a superfluid Fermi gas inside its pair-breaking continuum](#) », arXiv:1912.08898 (version 1 déposée le 18 décembre 2019).
- [52] Y. Castin, « [Spectroscopie de Bragg et mode du continuum de paire brisée dans un gaz de fermions superfluide](#) », hal-02377014 (version 1 déposée le 22 novembre 2019).